

UNIVERSIDADE FEDERAL DE ITAJUBÁ  
PROGRAMA DE PÓS-GRADUAÇÃO EM MATEMÁTICA

**Persistência de órbitas periódicas, integrais Abelianas  
em  $\mathbb{R}^n$  e aplicações**

**Juan Gabriel Mora Urueña**

**Orientador: Bráulio Augusto Garcia**

ITAJUBÁ, JULHO DE 2023



UNIVERSIDADE FEDERAL DE ITAJUBÁ  
PROGRAMA DE PÓS-GRADUAÇÃO EM MATEMÁTICA

**Juan Gabriel Mora Uruena**

**Persistência de órbitas periódicas, integrais Abelianas em  $\mathbb{R}^n$  e  
aplicações**

**Orientador: Bráulio Augusto Garcia**

Dissertação submetida ao Programa de Pós-Graduação  
em Matemática como parte dos requisitos para obtenção  
do Título de Mestre em Ciências em Matemática.

**Área de Concentração: Topologia/Geometria**

**Orientador: Bráulio Augusto Garcia**

ITAJUBÁ – MG

2023



# Agradecimentos

Eu agradeço a Deus por me permitir chegar até esta estada no meus estudos, também quero agradecer ao governo do Brasil pelo apoio e suporte oferecido sem o qual não teria sido possível o sonho de fazer meu mestrado em Matemática.

Eu quero agradecer igualmente ao corpo docente do IMC da UNIFEI, em especial ao Professor Luis Fernando Mello pela receptividade nos atendimentos e aos professores que compartilharam seus conhecimentos comigo, em particular ao meu orientador o Professor Bráulio Augusto Garcia por sua paciência imensa e suas valiosas contribuições no processo de preparação deste trabalho.

Dedico este trabalho à memória de minha avó por seus ensinamentos de vida que levo sempre comigo, à minha mãe por seu grande amor, à meu irmão de alma Manuel Mora pela motivação e à todas aquelas pessoas que me incentivaram sempre nos estudos, especialmente a minha professora de escola Elvia Aristizábal.



# Resumo

Neste trabalho é apresentado um método de Integrais Abelianas para uma classe de sistemas de equações diferenciais em  $\mathbb{R}^n$  com  $n \geq 2$ , ou seja, podemos estudar a existência de ciclos limites através dos zeros simples de uma aplicação num aberto de  $\mathbb{R}^{n-1}$ . Com esta metodologia, são tratados alguns sistemas de dimensão 3 e 4 e as condições que seus parâmetros devem satisfazer para possuir ciclos limites.

**Palavras-chave:** Ciclos limites, persistência de órbitas periódicas, integral abeliana.





# Abstract

In this work we study a method related to Abelian integrals for a class of differential equation systems in  $\mathbb{R}^n$  com  $n \geq 2$ , so that it can be studied the existence of limit cycles through the simple zeros of a mapping defined in an open set of  $\mathbb{R}^{n-1}$ . By means of this tool, some systems of dimension 3 and 4 are analysed and we give conditions on their parameters in order to get limit cycles for them.

**Keywords:** Limit cycles, Orbit persistence, Abelian integral.



# Sumário

|  |            |
|--|------------|
| <b>Resumo</b>  | <b>iii</b> |
| <b>Abstract</b>  | <b>v</b>   |
| <b>Índice</b>  | <b>vii</b> |
| <b>Lista de Figuras</b>  | <b>x</b>   |
| <b>1 Introdução</b>  | <b>1</b>   |
| <b>2 Persistência de órbitas periódicas em <math>\mathbb{R}^2</math></b>     | <b>7</b>   |
| 2.1 Teorema de Poincaré-Pontryagin-Andronov . . . . .                        | 7          |
| 2.2 Equação de Van der Pol . . . . .   | 12         |
| <b>3 Definições e Resultados Preliminares</b>                                | <b>15</b>  |
| 3.1 Teoria da Persistência de Órbitas Periódicas em $\mathbb{R}^n$ . . . . . | 15         |
| 3.2 Seção Transversal Local . . . . .  | 18         |
| 3.3 A Aplicação de Retorno de Poincaré . . . . .                             | 20         |
| 3.4 Integral Abeliana em $\mathbb{R}^n$ . . . . .                            | 26         |
| <b>4 Modelos em <math>\mathbb{R}^3</math></b>                                | <b>27</b>  |
| 4.1 Sistema de Nosé - Hoover . . . . .                                       | 27         |
| 4.2 Sistema de Hopf-Langford . . . . .                                       | 30         |
| 4.3 Sistema de Rössler . . . . .   | 32         |

|   |           |
|---|-----------|
| <b>5 Modelos em <math>\mathbb{R}^4</math></b>         | <b>39</b> |
| 5.1 Um novo sistema hipercaótico modificado . . . . . | 39        |
| 5.2 Sistema de Lorenz-Haken . . . . .                 | 43        |
| <b>Considerações finais</b>                           | <b>50</b> |
| <b>Bibliografia</b>                                   | <b>53</b> |

# Lista de Figuras

|     |   |    |
|-----|---|----|
| 1.1 | Órbitas no retrato de fase da equação de Van der Pol. . . . .   | 3  |
| 1.2 | Órbita no retrato de fase do sistema de Nosé-Hoover para $a, b$ pequenos. . .                                 | 4  |
| 2.1 | (a) $H(x, y) = \frac{1}{4}(x^2 - 1)^2 + \frac{y^2}{2}$ e (b) $H(x, y) = -\frac{x^3}{3} + x + \frac{y^2}{2}$ . | 8  |
| 2.2 | Curva de nível $h = H(x, y)$ . . . . .  | 9  |
| 2.3 | Órbita $\gamma(h, \epsilon)$ . . . . .  | 9  |
| 2.4 | Função separação. . . . .   | 10 |
| 2.5 | Órbita no retrato de fase da equação de Van der Pol para $\epsilon = 0.2$ . . . . .                           | 12 |
| 3.1 | A aplicação de retorno de Poincaré. . . . .   | 20 |
| 4.1 | Órbitas no retrato de fase do sistema de Hopf-Langford. . . . .   | 30 |
| 5.1 | Órbita para $\epsilon = 0.03$ em $\{w = 0\} = \mathbb{R}^3$ . . . . .   | 43 |

# Capítulo 1

## Introdução

No final da década de 1920, van der Pol, Liénard e Andronov, estudando oscilações não lineares de fenômenos elétricos, analisaram certas equações diferenciais ordinárias de segunda ordem verificando a ocorrência de órbitas periódicas isoladas, chamadas de ciclos limites. Como por exemplo modelos dados pela equação diferencial  $\ddot{x} + x = \epsilon f(x, -\dot{x})$  ou, equivalentemente, o sistema planar de equações diferenciais

$$\begin{cases} \dot{x} = y, \\ \dot{y} = -x + \epsilon f(x, y), \end{cases}$$

sendo  $\epsilon$  um parâmetro real suficientemente pequeno e  $f$  uma função polinomial (ou, em geral, analítica real). Desde então matemáticos e físicos estudam extensivamente a não existência, a existência, a localização e a unicidade, entre outras propriedades, como a estabilidade de ciclos limites.

Um importante conceito, introduzido inicialmente por Poincaré e depois por Pointryagin, utilizado nesses estudos é o da *integral abeliana*, que permite uma análise mais detalhada dos ciclos limites e de suas propriedades dinâmicas. Precisamente, pode-se mostrar a existência de uma *função integral*  $F : \Sigma \subset \mathbb{R} \rightarrow \mathbb{R}$  dada por

$$F(\xi) = \int_0^{2\pi} f(\xi \cos u, -\xi \sin u) \sin u \, du$$

com  $\xi > 0$  tal que, se  $\xi_0 > 0$  é um *zero simples* da função  $F$ , isto é,  $F(\xi_0) = 0$  e  $F'(\xi_0) \neq 0$ , então existe um ciclo limite no retrato de fase de  $x'' + x = \epsilon f(x, x')$  próximo a um círculo centrado na origem e de raio  $\xi_0$ , para  $\epsilon \geq 0$  suficientemente pequeno.

Paralelamente, essas ideias foram apresentadas por Hilbert em sua lista de problemas para nortear os matemáticos do século  $XX$ . Em suas palavras no Congresso Internacional de Matemáticos de Paris:

“ Quem de nós não gostaria de descobrir aquilo que o futuro nos oculta, e lançar um olhar sobre os iminentes progressos de nossa ciência e os segredos de seus desenvolvimentos durante o próximo século? Quais serão as metas especiais sobre as quais o comando do intelecto matemático das próximas gerações irá esforçar-se para alcançar? Quais novos métodos e novos fatos serão descobertos no novo século, sobre os quais repousam amplos e ricos campos do pensamento matemático? ” **David Hilbert, 1900.**

Um dos problemas, a saber, o 16º problema levanta as seguintes questões sobre o sistema

$$\begin{cases} \dot{x} = P_n(x, y) \\ \dot{y} = Q_n(x, y). \end{cases} \quad (1.1)$$

Qual é o número máximo de ciclos limites do sistema diferencial (1.1) para todos os possíveis polinômios reais  $P_n$  e  $Q_n$  de grau menor ou igual a  $n$ ? E o que dizer das posições relativas dos ciclos limites de (1.1), veja [13].

Tal problema é extremamente difícil e ainda não resolvido. Para reduzir a dificuldade, os sistemas polinomiais gerais são restritos aos seguintes sistemas Hamiltonianos perturbados,

$$\begin{cases} \dot{x} = -H_y(x, y) + \epsilon f(x, y) \\ \dot{y} = H_x(x, y) + \epsilon g(x, y). \end{cases} \quad (1.2)$$

onde  $f(x, y)$  e  $g(x, y)$  são polinômios de grau  $n \geq 2$ ,  $\epsilon \geq 0$  suficientemente pequeno,  $H(x, y)$  é um polinômio de grau  $n + 1$  que possui pelo menos uma família de órbitas fechadas denotada por  $\Gamma_h$  para o sistema não perturbado  $(1.2)_{\epsilon=0}$ , parametrizada por  $\{(x, y) \mid H(x, y) = h, h \in J\}$ , onde  $J$  é um intervalo aberto.

As perturbações destroem a integrabilidade e a maioria das órbitas periódicas de  $(1.2)_{\epsilon=0}$  se tornam espirais. Apenas um número finito de órbitas fechadas isoladas com pequenas deformações persistem como ciclos limite de (1.2). A ideia principal para estudar

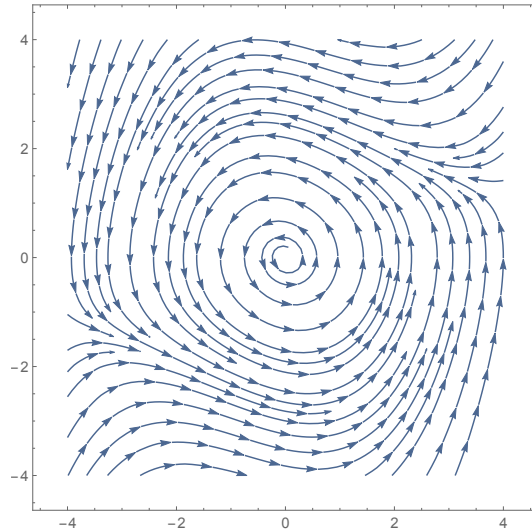


Figura 1.1: Órbitas no retrato de fase da equação de Van der Pol.

os “ciclos limite persistentes” é investigar os zeros da *aplicação de retorno de Poincaré* no anel periódico  $\{\Gamma_h\}$ , formado por órbitas periódicas do sistema  $(1.2)_{\epsilon=0}$ . Quando o parâmetro de perturbação  $\epsilon$  está próximo de zero, a aplicação de retorno de Poincaré é aproximada pela seguinte integral abeliana,

$$I(h) = - \oint_{\Gamma_h} g(x, y)dx - f(x, y)dy, \quad h \in J. \quad (1.3)$$

Os zeros de  $I(h)$  correspondem ao número de ciclos limite persistentes do sistema (1.2). Estudar o número máximo de zeros de  $I(h)$  é chamado de problema fraco do 16<sup>o</sup> problema de Hilbert e foi proposto por Arnold. De fato, a maioria dos resultados sobre o 16<sup>o</sup> problema de Hilbert foram obtidos a partir do estudo do sistema (1.2), veja [13].

Os dois principais objetivos desse trabalho são:

- generalizar esses conceitos para sistemas de equações diferenciais em  $\mathbb{R}^n$  com  $n \geq 2$ , ou seja, essencialmente generalizar a integral abeliana (1.3) para uma classe importante de dinâmicas;
- aplicar em certos modelos de equações diferenciais em  $\mathbb{R}^3$  e  $\mathbb{R}^4$  já consagrados na literatura recente da área que foram estudados utilizando outra teoria, a saber *o método do averaging*.



Os sistemas em  $\mathbb{R}^3$  que usaremos para exemplificar a teoria são:

| Nosé-Hoover, [4]        | Langford-Hopf, [14]                                       | Rossler, [3]              |
|-------------------------|---|---------------------------|
| $\dot{x} = -y - axz,$   | $\dot{x} = -\omega y - bx + xz,$                          | $\dot{x} = -y - z,$       |
| $\dot{y} = x,$          | $\dot{y} = \omega x - by + yz,$                           | $\dot{y} = x + ay,$       |
| $\dot{z} = b(x^2 - 1).$ | $\dot{z} = \lambda + az - \beta(x^2 + y^2) - \alpha z^3.$ | $\dot{z} = bx - cz + xz.$ |

Os sistemas em  $\mathbb{R}^4$  são:

| Lorenz-Haken, [10]               | Sistema hipercaótico, [2]  |
|----------------------------------|----------------------------|
| $\dot{x} = a(y - x),$            | $\dot{x} = ay - ax + ew,$  |
| $\dot{y} = -cy - dz + (e - w)x,$ | $\dot{y} = bx - fxz + gw,$ |
| $\dot{z} = dy - cz,$             | $\dot{z} = -cz + hxy,$     |
| $\dot{w} = -bw + xy.$            | $\dot{w} = -dy.$           |

Para cada um dos sistemas anteriores como provar a existência de órbitas periódicas ou ciclos limites? E qual a sua localização no retrato de fase? Por exemplo, a simulação de uma órbita periódica no sistema de Nosé-Hoover para  $a, b$  pequenos, veja [4], é dada na Figura (1.2).

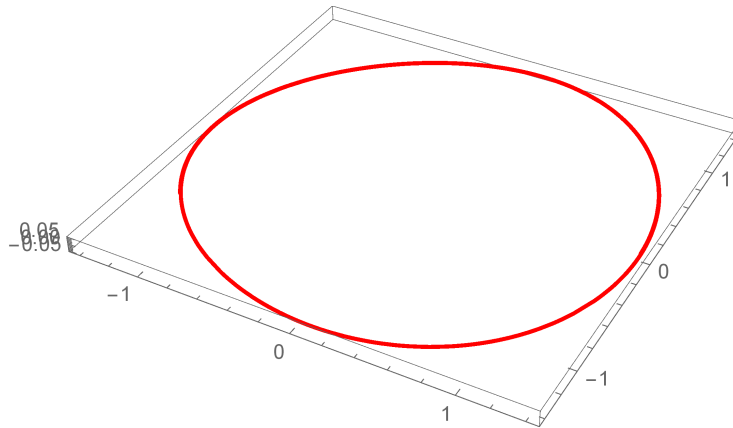


Figura 1.2: Órbita no retrato de fase do sistema de Nosé-Hoover para  $a, b$  pequenos.

A *teoria do Averaging* é uma das mais importante ferramentas para obter a existência de ciclos limites para um dado sistema não-autônomo em uma específica forma canônica

para uma dada ordem. Na grande maioria dos sistemas, por exemplos nos citados na tabela anterior, esse método foi adaptado para o caso autônomo, usualmente utilizando coordenadas cilíndricas e tomando a variável angular como a variável independente, veja por exemplo [4] ou [9]. Nesse ponto vale ressaltar que a teoria a ser desenvolvida não faz menção a sistemas não-autônomos, portanto mais simples para aplicações práticas em sistemas físicos, eletrônicos, biológicos e ambientais.

Outro ponto fundamental é que a estratégia adotada por vários autores é de procurar por bifurcação do tipo *zero-Hopf* nos pontos singulares de tais sistemas, isto é, por pontos de equilíbrio não hiperbólicos com autovalores do sistema linearizado dados por  $\pm i$  e todos os outros iguais a 0. O entendimento das órbitas que bifurcam de tal equilíbrio está longe de ser entendido completamente mas em certos casos levam a forma canônica do método do averaging.

Em suma, motivados pela discussão anterior, estudaremos sistemas dinâmicos na forma:

$$\begin{cases} x'_1 = -x_2 + \epsilon g_1(x_1, \dots, x_n), \\ x'_2 = x_1 + \epsilon g_2(x_1, \dots, x_n), \\ x'_3 = \epsilon g_3(x_1, \dots, x_n), \\ \vdots \\ x'_n = \epsilon g_n(x_1, \dots, x_n). \end{cases}, \quad (1.4)$$

onde  $g_i : \mathbb{R}^n \rightarrow \mathbb{R}$ ,  $i = 1, 2, \dots, n$ .

Note que para  $\epsilon = 0$  o sistema 1.4 é integrável, pois é linear, e está dado pela matriz

$$A = \begin{pmatrix} 0 & -1 & 0 & \dots & 0 \\ 1 & 0 & 0 & \dots & 0 \\ 0 & 0 & 0 & \dots & 0 \\ \vdots & \vdots & \vdots & \ddots & \vdots \\ 0 & 0 & 0 & \dots & 0 \end{pmatrix}$$

com autovalores  $\pm i$  e 0.

Nesse caso temos o seguinte teorema sobre a existência da integral abeliana:

**Teorema.** *Considere a aplicação  $F : \Sigma_c \subset \mathbb{R}^{n-1} \rightarrow \mathbb{R}^{n-1}$ , onde  $\Sigma_c$  é um conjunto aberto, dada por*

$$F(\xi) = \begin{pmatrix} \int_0^{2\pi} (g_1(\xi_1 \cos s, \xi_1 \sin s, \dots, \xi_{n-1}) \cos s + g_2(\xi_1 \cos s, \xi_1 \sin s, \dots, \xi_{n-1}) \sin s) ds \\ \int_0^{2\pi} g_3(\xi_1 \cos s, \xi_1 \sin s, \dots, \xi_{n-1}) ds \\ \vdots \\ \int_0^{2\pi} g_n(\xi_1 \cos s, \xi_1 \sin s, \dots, \xi_{n-1}) ds \end{pmatrix},$$

para  $\xi = (\xi_1, \xi_2, \dots, \xi_{n-1}) \in \Sigma_c \subset \mathbb{R}^{n-1}$ .

Suponha  $\xi_0 = (\xi_{01}, \xi_{02}, \dots, \xi_{0n-1},) \in \Sigma_c \subset \mathbb{R}^{n-1}$  um zero simples de  $F$ , isto é,

$$F(\xi_0) = 0 \quad e \quad \det(DF(\xi_0)) \neq 0,$$

então o sistema  $(1.4)_{\epsilon > 0}$  possui um ciclo limite persistente do sistema não perturbado  $(1.4)_{\epsilon = 0}$ , para  $\epsilon$  suficientemente pequeno. Além disso, a órbita periódica de  $(1.4)_{\epsilon > 0}$  é da forma

$$X(t, \epsilon) = (\xi_{01} \cos t, \xi_{01} \sin t, \xi_{02}, \dots, \xi_{0n-1}) + O_X(t, \epsilon)$$

onde  $\xi_0 = (\xi_{01}, \xi_{02}, \dots, \xi_{0n-1})$ , para  $\epsilon > 0$  suficientemente pequeno. Desse modo,

$$X(t, \epsilon) \rightarrow (\xi_{01} \cos t, \xi_{01} \sin t, \xi_{02}, \dots, \xi_{0n-1})$$

quando  $\epsilon \rightarrow 0$ .

A dissertação está escrita na seguinte forma: No capítulo 2 apresentamos a teoria sobre ciclos limites em sistemas hamiltonianos planares perturbados (*Teorema de Poincaré-Pontryagin-Andronov*), bem como sua aplicação na clássica equação de Van der Pol.

O capítulo 3 trata sobre a teoria da persistência de órbitas periódicas em  $\mathbb{R}^n$  em alguns modelos da forma (1.4), junto com algumas definições e fatos necessários para sua aplicação nos modelos estudados.

Para terminar, nos capítulos 4 e 5 são apresentados os sistemas de Nosé-Hoover, Rossler, Langford entre outros e exibem-se as condições sobre seus parâmetros para garantir a existência de ciclos limites por meio do método desenvolvido no capítulo 3.

# Capítulo 2

## Persistência de órbitas periódicas em $\mathbb{R}^2$

O objetivo deste capítulo é apresentar uma teoria de persistência de órbitas periódicas por perturbações em sistemas planares hamiltonianos que servirá de motivação para nosso estudo de existência de órbitas periódicas em  $\mathbb{R}^n$ .

### 2.1 Teorema de Poincaré-Pontryagin-Andronov

Considere  $X_H = (-H_y, H_x)$  campo Hamiltoniano associado a uma função Hamiltoniana  $H = H(x, y)$  de classe  $C^\infty$ , onde  $(x, y) \in \mathbb{R}^2$ .

Considere o sistema planar de equações diferenciais

$$\begin{cases} \dot{x} = -H_y \\ \dot{y} = H_x, \end{cases} \quad (2.1)$$

e o sistema perturbado

$$\begin{cases} \dot{x} = -H_y + \epsilon f(x, y) \\ \dot{y} = H_x + \epsilon g(x, y), \end{cases} \quad (2.2)$$

onde  $f, g$  são funções de classe  $C^\infty$  e  $\epsilon > 0$  um parâmetro pequeno. Suponha que exista um anel folheado de curvas fechadas (dito anel periódico) dxo sistema (2.1),  $\gamma_h \subset H^{-1}(h)$ , dependendo continuamente do parâmetro  $h \in (a, b)$  com  $a < b$ . Veja a Figura 2.1.

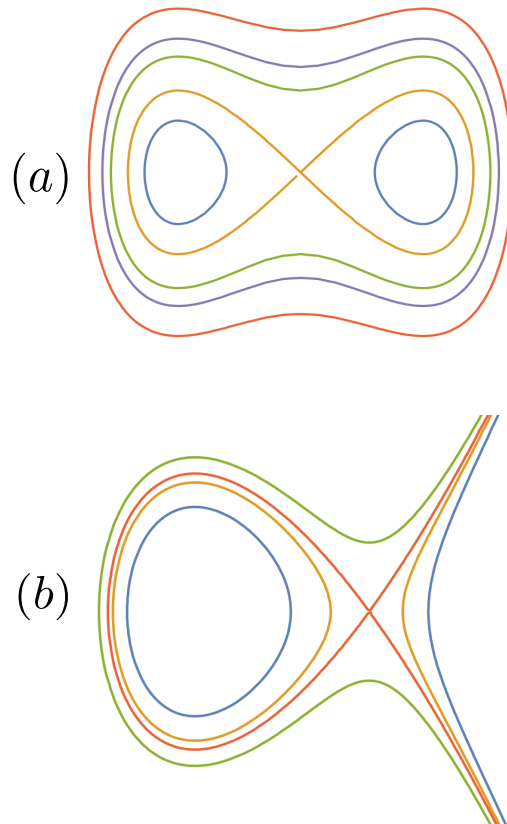


Figura 2.1: (a)  $H(x, y) = \frac{1}{4}(x^2 - 1)^2 + \frac{y^2}{2}$  e (b)  $H(x, y) = -\frac{x^3}{3} + x + \frac{y^2}{2}$ .

Como mencionado na introdução, uma pergunta natural é quantas órbitas periódicas de (2.1) persistem para  $\epsilon > 0$  suficientemente pequeno em (2.2)? Qual a localização das órbitas periódicas que persistem por pequenas perturbações? Para tentar responder essas perguntas precisamos definir e estudar a aplicação de retorno de Poincaré associada a (2.2) para  $\epsilon > 0$  suficientemente pequeno.

Considere a aplicação

$$\begin{aligned} P : \Sigma \times (0, \bar{\epsilon}) &\longrightarrow \Sigma \\ (h, \epsilon) &\longmapsto P(h, \epsilon), \end{aligned}$$

onde  $\bar{\epsilon} > 0$  e  $\Sigma$  o segmento transversal a cada curva fechada  $\gamma_h$  do anel periódico do sistema (2.1), como ilustrado na Figura 2.2.

Por simplicidade, parametrizaremos  $\Sigma$  pelos valores da função  $H$  denotados por  $h$ .

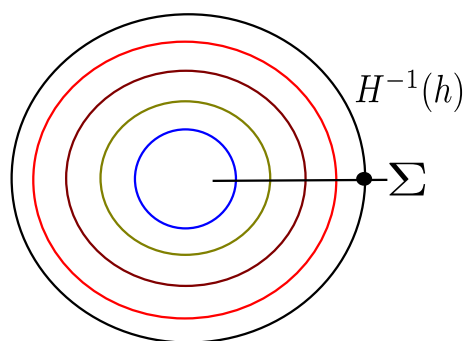


Figura 2.2: Curva de nível  $h = H(x, y)$ .

Seja  $\gamma(h, \epsilon)$  a órbita do sistema (2.2) começando em  $h \in \Sigma$  e finalizando em  $P(h, \epsilon) \in \Sigma$ , veja a seguinte Figura 2.3.

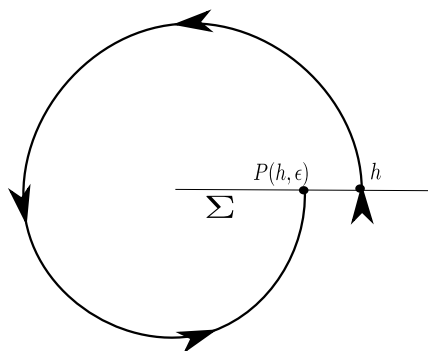


Figura 2.3: Órbita  $\gamma(h, \epsilon)$ .

Note que  $P(h, \epsilon)$  está bem definida pela dependência contínua das equações diferenciais com respeito aos parâmetros. De fato,  $\gamma(h, \epsilon)$  está próxima de  $\gamma_h \subset H^{-1}(h)$  órbita periódica do sistema não perturbado. Considere a função, dita *função separação*, definida por

$$d(h, \epsilon) = P(h, \epsilon) - h.$$

Claramente,  $d(h, 0) = P(h, 0) - h = h - h = 0$  no anel periódico.

Nessas condições podemos enunciar o seguinte teorema conhecido como Teorema de Poincaré-Pontryagin-Andronov:

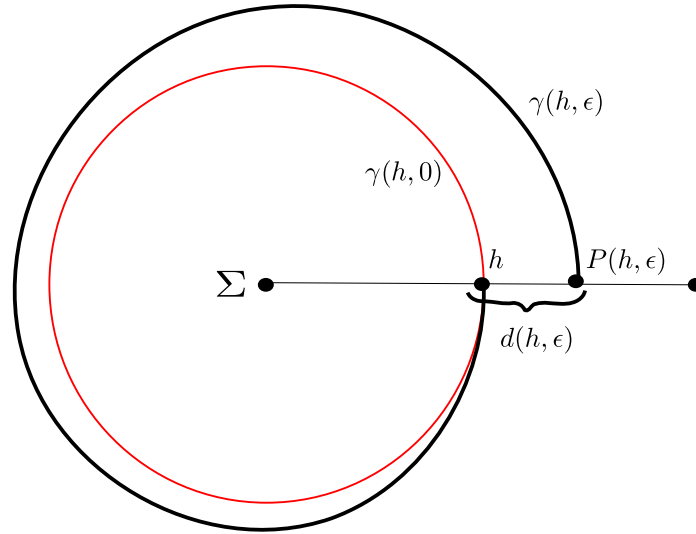


Figura 2.4: Função separação.

**Teorema de Poincaré-Pontryagin-Andronov.** *Nas hipóteses anteriores, temos que*

$$d(h, \epsilon) = \epsilon(I(h) + \epsilon\phi(h, \epsilon))$$

para  $\epsilon$  pequeno, onde  $\phi(h, \epsilon)$  é de classe  $C^\infty$  uniformemente limitada numa vizinhança compacta de  $(h, 0)$  com  $h \in (a, b)$ , e

$$I(h) = \oint_{\gamma_h} f(x, y)dy - g(x, y)dx.$$

A função  $I$  é chamada *Integral Abeliana*.

**Demonstração.** Por consequência de nossa parametrização de  $\Sigma$  temos que  $d(h, \epsilon)$  é a diferença dos valores de  $H$  nos extremos de  $\gamma(h, \epsilon)$ , logo

$$\begin{aligned} d(h, \epsilon) &= \int_{\gamma(h, \epsilon)} dH \\ &= \int_{\gamma(h, \epsilon)} (H_x \dot{x} + H_y \dot{y}) dt \\ &= \int_{\gamma(h, \epsilon)} (H_x(-H_y + \epsilon f) + H_y(H_x + \epsilon g)) dt \\ &= \epsilon \int_{\gamma(h, \epsilon)} (fH_x + gH_y) dt. \end{aligned}$$

Expandindo  $d(h, \epsilon)$  em série de Taylor em torno de  $\epsilon = 0$  temos

$$d(h, \epsilon) = d(h, 0) + \left. \frac{\partial d}{\partial \epsilon} \right|_{\epsilon=0} \epsilon + \left. \frac{\partial^2 d}{\partial \epsilon^2} \right|_{\epsilon=0} \epsilon^2 + \dots$$

Note que

$$d(h, 0) = 0 \quad \text{e} \quad \left. \frac{\partial d}{\partial \epsilon} \right|_{\epsilon=0} = \int_{\gamma(h,0)} (fH_x + gH_y) dt.$$

De fato,

$$\begin{aligned} \left. \frac{\partial d}{\partial \epsilon} \right|_{\epsilon=0} &= \int_{\gamma_h} (f\dot{y} + g\dot{x}) dt \\ &= \oint_{\gamma} f dy - g dx. \end{aligned}$$

**Definição 2.1.** Dizemos que  $\Gamma_\epsilon$  é um ciclo limite do campo  $X_{H,\epsilon}$  dado em (2.2) que bifurca de  $\gamma_{h^*}$ , se existir  $h^* \in (a, b)$  e  $\epsilon^* > 0$  tal que  $\Gamma_\epsilon$  é ciclo limite de (2.2) para todo  $0 < |\epsilon| < \epsilon^*$  e  $\Gamma_\epsilon$  tende para  $\gamma_{h^*}$  quando  $\epsilon \rightarrow 0$ .

**Teorema 2.1.** Ainda nas hipóteses anteriores, suponha que  $I = I(h)$  não seja a função identicamente nula em  $(a, b)$ . Se existir  $h^* \in (a, b)$  tal que  $I(h^*) = 0$  e  $I'(h^*) \neq 0$ , então  $X_{H,\epsilon}$ , campo vetorial dado em (2.2), possui um único ciclo limite  $\Gamma_\epsilon$  bifurcando de  $\gamma_{h^*}$ . Portanto, os zeros isolados (ou zeros simples) de  $I(h)$  correspondem a órbitas periódicas isoladas no sistema perturbado, ou seja ciclos limites.

**Demonstração.** Considere  $\tilde{d}(h, \epsilon) = I(h) + \epsilon\phi(h, \epsilon)$ . Temos que  $\tilde{d}(h^*, 0) = I(h^*) = 0$  e  $\left. \frac{\partial \tilde{d}}{\partial h} \right|_{(h^*, 0)} = I'(h^*) \neq 0$ . Aplicando o Teorema da Função Implícita temos uma vizinhança de  $(h^*, 0)$ ,  $U^* = \{(h, \epsilon) : |h - h^*| \leq \eta^* \text{ e } |\epsilon| \leq \epsilon^*\}$  e uma única função  $h = h(\epsilon)$  em  $U^*$  tal que

1.  $h(0) = h^*$  e
2.  $\tilde{d}(h^*(\epsilon), \epsilon) = 0, \forall \epsilon \in (-\epsilon^*, \epsilon^*)$ .

Portanto,  $d(h(\epsilon), \epsilon) = 0$  que é a função separação para todo  $\epsilon < \epsilon^*$ .



## 2.2 Equação de Van der Pol

A seguir, faremos um exemplo clássico da persistência de órbitas periódicas da equação de Van der Pol.

Consideremos a *equação de Van der Pol*

$$\begin{cases} \dot{x} = y \\ \dot{y} = -x + \epsilon(1 - x^2)y. \end{cases} \quad (2.3)$$

Note que para  $\epsilon = 0$ , o sistema (2.3) é Hamiltoniano cuja família contínua de curvas fechadas é

$$\gamma_h = \{(x, y) \in \mathbb{R}^2 : H(x, y) = x^2 + y^2 = h, h > 0\}.$$

De fato, temos um centro linear. Usando coordenadas polares  $x = h\cos\theta$  e  $y = h\sin\theta$ , e observando que a orientação de  $\gamma_h$  está no sentido anti-horário, temos:

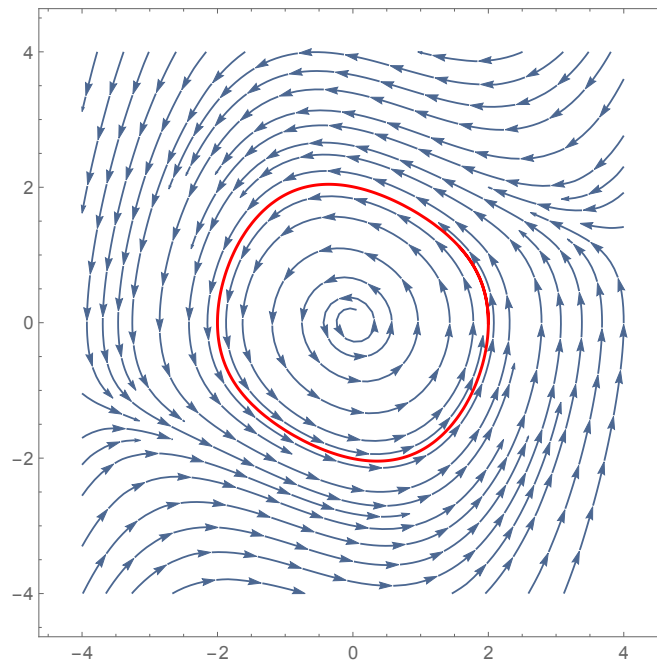


Figura 2.5: Órbita no retrato de fase da equação de Van der Pol para  $\epsilon = 0.2$ .

$$\begin{aligned}
I(h) &= \oint_{\gamma_h} (1-x^2)ydx \\
&= \int_0^{2\pi} (1-h^2\cos^2\theta)(h\operatorname{sen}\theta)(-h\operatorname{sen}\theta d\theta) \\
&= -\int_0^{2\pi} (1-h^2\cos^2\theta)(h^2\operatorname{sen}^2\theta)d\theta \\
&= \pi h^2 \left( \frac{h^2}{4} - 1 \right).
\end{aligned}$$

Note que  $I(h) = 0$  se, e somente se,

$$h = 0 \quad \text{ou} \quad \frac{h^2}{4} - 1 = 0.$$

O valor  $h^* = 0$  corresponde a singularidade do sistema e  $h^* = 2$  é o único zero positivo de  $I(h)$ .

Por outro lado, vemos que

$$I'(h) = 2\pi h \left( \frac{h^2}{2} - 1 \right),$$

implica

$$I'(2) = 4\pi \left( \frac{2^2}{2} - 1 \right) = 4\pi \neq 0.$$

Pelo Teorema 2.1 concluímos que, para  $\epsilon$  suficientemente pequeno, o sistema (2.3) possui um único ciclo limite que tende ao círculo de raio  $\sqrt{2}$  quando  $\epsilon \rightarrow 0$ , veja Figura 2.5.



# Capítulo 3

## Definições e Resultados Preliminares

Neste capítulo é apresentado o principal resultado que envolve o *método das integrais abelianas* para o estudo de órbitas periódicas que persistem em determinadas equações diferenciais em  $\mathbb{R}^n$  além de alguns conceitos, tomados de [5] e

### 3.1 Teoria da Persistência de Órbitas Periódicas em $\mathbb{R}^n$

Considere uma família a um parâmetro de equações diferenciais em  $\mathbb{R}^n$  da forma

$$\begin{cases} x'_1 = -x_2 + \epsilon g_1(x_1, \dots, x_n), \\ x'_2 = x_1 + \epsilon g_2(x_1, \dots, x_n), \\ x'_3 = \epsilon g_3(x_1, \dots, x_n), \\ \quad \quad \quad \vdots \\ x'_n = \epsilon g_n(x_1, \dots, x_n), \end{cases} \quad (3.1)$$

com  $\epsilon \geq 0$  um parâmetro e  $g_i : \mathbb{R}^n \rightarrow \mathbb{R}$  funções de classe  $C^r$ , com  $r \geq 1$  ou  $r = \infty$ , para  $i = 1, \dots, n$ .

O sistema (3.1) pode ser escrito da seguinte forma

$$x' = F(x, \epsilon) = Ax + \epsilon G(x), \quad (3.2)$$

com  $x = (x_1, \dots, x_n) \in \mathbb{R}^n$ ,  $\epsilon \geq 0$ ,

$$A = \begin{pmatrix} 0 & -1 & 0 & \dots & 0 \\ 1 & 0 & 0 & \dots & 0 \\ 0 & 0 & 0 & \dots & 0 \\ \vdots & \vdots & \vdots & \ddots & \vdots \\ 0 & 0 & 0 & \dots & 0 \end{pmatrix}$$

e  $G \in C^r(\mathbb{R}^n, \mathbb{R}^n)$ ,  $r \geq 1$  ou  $r = \infty$ , um campo vetorial dado por

$$\begin{aligned} G : \mathbb{R}^n &\longrightarrow \mathbb{R}^n \\ x &\longmapsto G(x) = (g_1(x), \dots, g_n(x)). \end{aligned}$$

A solução do problema de valor inicial (3.3) associado ao sistema (3.2)

$$\left\{ \begin{array}{l} x'_1 = -x_2 + \epsilon g_1(x_1, \dots, x_n), \\ x'_2 = x_1 + \epsilon g_2(x_1, \dots, x_n), \\ x'_3 = \epsilon g_3(x_1, \dots, x_n), \\ \quad \quad \quad \vdots \\ x'_n = \epsilon g_n(x_1, \dots, x_n), \\ x(0) = (\xi_1, 0, \xi_2, \dots, \xi_{n-1}), \end{array} \right. \quad (3.3)$$

é denotada por

$$\begin{aligned} x : I \times \mathbb{R}_*^{n-1} \times [0, \infty) &\longrightarrow \mathbb{R}^n \\ (t, \xi, \epsilon) &\longmapsto x(t, \xi, \epsilon) = (x_1(t, \xi, \epsilon), \dots, x_n(t, \xi, \epsilon)), \end{aligned} \quad (3.4)$$

sendo  $\xi = (\xi_1, \xi_2, \dots, \xi_{n-1}) \in \mathbb{R}_*^{n-1}$ , com

$$\mathbb{R}_*^{n-1} = (0, \infty) \times \mathbb{R} \times \dots \times \mathbb{R} \subset \mathbb{R}^{n-1}$$

e  $I$  o intervalo máximo.

Note que a solução do sistema (3.3) em  $\epsilon = 0$ ,

$$\begin{cases} x' = Ax, \\ x(0) = (\xi_1, 0, \xi_2, \dots, \xi_{n-1}), \end{cases} \quad (3.5)$$

é dada por  $x(t, \xi, 0) = e^{At}x(0)$ , onde  $e^{At}$  é a matriz fundamental satisfazendo  $e^{At} = Id$  em  $t = 0$ , isto é,

$$e^{At} = \begin{pmatrix} \cos t & -\operatorname{sen} t & 0 & \dots & 0 \\ \operatorname{sen} t & \cos t & 0 & \dots & 0 \\ 0 & 0 & 1 & \dots & 0 \\ \vdots & \vdots & \vdots & \ddots & \vdots \\ 0 & 0 & 0 & \dots & 1 \end{pmatrix}. \quad (3.6)$$

Neste caso, todo ponto da forma  $(0, 0, a_1, a_2, \dots, a_{n-2})$  é ponto de equilíbrio de  $x' = Ax$ , sendo  $a_1, a_2, \dots, a_{n-2}$  números reais. Assim, os pontos de equilíbrio pertencem a um subespaço do  $\mathbb{R}^n$  de dimensão  $n - 2$ . Além disso, com exceção dos pontos de equilíbrio, toda solução é periódica de período  $2\pi$ .

Como mencionado anteriormente uma pergunta de interesse que surge naturalmente na teoria das equações diferenciais bem como em aplicações em áreas afins consiste em saber sobre a persistência e a localização de órbitas periódicas por pequenas perturbações. Dito de outra forma, sob quais condições órbitas periódicas do sistema linear (3.5) continuam ou persistem para  $\epsilon$  suficientemente pequeno em (3.2)?

Para dar resposta a esta pergunta, vamos abordar algumas ferramentas da teoria de equações diferenciais que se encontram no trabalho de Mota [5].

**Lema 3.1.** *A solução  $x$  dada em (3.4) ao Problema de Cauchy (3.3) satisfaz*

$$x(t, \xi, \epsilon) = e^{At}x_0 + \epsilon \int_0^t e^{(t-s)A}G(x(s, \xi, \epsilon)) ds, \quad (t, \xi, \epsilon) \in I \times \mathbb{R}_*^{n-1} \times [0, \infty),$$

com  $e^{At}$  a matriz fundamental (3.6) e  $x_0 = (\xi_1, 0, \xi_2, \dots, \xi_{n-1})$ .

**Demonstração.** Defina a variável  $y$  por  $y(t, \xi, \epsilon) = e^{-At}x(t, \xi, \epsilon)$ , sendo  $x = x(t, \xi, \epsilon)$ ,  $(t, \xi, \epsilon) \in I \times \mathbb{R}_*^{n-1} \times [0, \infty)$ , a solução do (3.3). Então,

$$\begin{aligned}\frac{d}{dt}x(t, \xi, \epsilon) &= \frac{d}{dt}(e^{At})y(t, \xi, \epsilon) + e^{At}\frac{d}{dt}y(t, \xi, \epsilon) \\ Ax(t, \xi, \epsilon) + \epsilon G(x(t, \xi, \epsilon)) &= Ae^{At}y(t, \xi, \epsilon) + e^{At}\frac{d}{dt}y(t, \xi, \epsilon) \\ Ax(t, \xi, \epsilon) + \epsilon G(x(t, \xi, \epsilon)) &= Ax(t, \xi, \epsilon) + e^{At}\frac{d}{dt}y(t, \xi, \epsilon),\end{aligned}$$

ou seja,

$$\frac{d}{dt}y(t, \xi, \epsilon) = \epsilon e^{-At}G(x(t, \xi, \epsilon)).$$

Integrando a equação anterior na variável  $s$ , de  $s = 0$  até  $s = t$ , e tendo em conta que

$y(0, \xi, \epsilon) = x_0$ , tem-se que

$$\begin{aligned}\int_0^t \frac{d}{ds}y(s, \xi, \epsilon) ds &= \epsilon \int_0^t e^{-As}G(x(s, \xi, \epsilon)) ds \\ e^{-At}x(t, \xi, \epsilon) - x_0 &= \epsilon \int_0^t e^{-As}G(x(s, \xi, \epsilon)) ds, \quad (t, \xi, \epsilon) \in I \times \mathbb{R}_*^{n-1} \times [0, \infty),\end{aligned}$$

terminando a demonstração.

Do Lema 3.1 resulta que

$$\begin{aligned}x(t, \xi, \epsilon) &= x(t, \xi, 0) + R_x(t, \xi, \epsilon) \\ &= (\xi_1 \cos t, \xi_1 \sin t, \xi_2, \dots, \xi_{n-1}) + R_x(t, \xi, \epsilon),\end{aligned}$$

com  $R_x$  uma função com desenvolvimento em série de Taylor na variável  $\epsilon$ , em torno de  $\epsilon = 0$ , iniciando, pelo menos, no termo de grau 1 e  $R_x(t, \xi, 0) \equiv 0$ .

Agora, em analogia com o caso planar, passamos a definir o que é uma seção transversal para poder introduzir o conceito de aplicação de primeiro retorno, o qual será crucial para atingir o objetivo de estudo.

## 3.2 Seção Transversal Local

Sejam  $f : \Lambda \rightarrow \mathbb{R}^n$  um campo vetorial de classe  $\mathcal{C}^r$ ,  $r \geq 1$  ou  $r = \infty$ , no aberto  $\Lambda \subset \mathbb{R}^n$ . Uma aplicação diferenciável  $\sigma : U \rightarrow \Lambda$  de classe  $\mathcal{C}^r$  no aberto  $U \subset \mathbb{R}^{n-1}$  chama-se seção

transversal local de  $f$  (de classe  $\mathcal{C}^r$ ) quando, para todo  $u \in U$ ,  $D\sigma(u)$  ( $\mathbb{R}^{n-1}$ ) e  $f(\sigma(u))$  geram o espaço  $\mathbb{R}^n$ . Seja  $\Sigma = \sigma(U)$  munido da topologia induzida. Se  $\sigma : U \rightarrow \Sigma$  for um homeomorfismo, é usual dizermos que  $\Sigma$  é uma seção transversal de  $f$ .

Seja  $u = (u_1, u_2, \dots, u_{n-1}) \in \mathbb{R}_*^{n-1}$  e considere as funções

$$\begin{aligned} \sigma : \mathbb{R}_*^{n-1} &\rightarrow \mathbb{R}^n \\ u &\rightarrow \sigma(u) = (u_1, 0, u_2, \dots, u_{n-1}) \end{aligned}$$

e  $h$  dada por

$$h(u, \epsilon) = \det(F(\sigma(u), \epsilon) | D\sigma(u)), \quad u \in \mathbb{R}_*^{n-1},$$

com  $F$  tal como em (3.2). Como, para cada  $u \in \mathbb{R}_*^{n-1}$ ,  $D\sigma(u) : \mathbb{R}^{n-1} \rightarrow \mathbb{R}^n$  é tal que

$$D\sigma(u) = \begin{pmatrix} 1 & 0 & 0 & \dots & 0 \\ 0 & 0 & 0 & \dots & 0 \\ 0 & 1 & 0 & \dots & 0 \\ \vdots & \vdots & \vdots & \ddots & \vdots \\ 0 & 0 & 0 & \dots & 1 \end{pmatrix},$$

aplicando o Teorema de Laplace para determinantes, segue que

$$h(u, \epsilon) = \det \begin{pmatrix} \epsilon g_1(\sigma(u)) & 1 & 0 & 0 & \dots & 0 \\ u_1 + \epsilon g_2(\sigma(u)) & 0 & 0 & 0 & \dots & 0 \\ \epsilon g_3(\sigma(u)) & 0 & 1 & 0 & \dots & 0 \\ \vdots & \vdots & \vdots & \ddots & \vdots & \\ \epsilon g_n(\sigma(u)) & 0 & 0 & 0 & \dots & 1 \end{pmatrix} = -u_1 - \epsilon g_2(\sigma(u)),$$

para todo  $u \in \mathbb{R}_*^{n-1}$ .

Para  $\epsilon = 0$ , temos que  $h(u, 0) = -u_1 \neq 0$ , para todo  $u \in \mathbb{R}_*^{n-1}$ , e portanto,  $\Sigma = \sigma(\mathbb{R}_*^{n-1})$  é seção transversal do campo  $F$ . Pela continuidade do campo vetorial  $F$  e para  $\epsilon > 0$ , suficientemente pequeno, se  $h^{-1}(0) \cap \sigma(\mathbb{R}_*^{n-1}) \neq \emptyset$ , então a interseção, em geral, é uma subvariedade de dimensão  $n - 2$  que determina a fronteira de  $\Sigma$ . Porém, se  $h^{-1}(0) \cap \sigma(\mathbb{R}_*^{n-1}) = \emptyset$ , então  $\Sigma = \sigma(\mathbb{R}_*^{n-1})$ .



### 3.3 A Aplicação de Retorno de Poincaré

Se  $\Gamma$  é uma órbita periódica do sistema

$$\dot{x} = f(x) \quad (3.7)$$

através do ponto  $x_0$  e  $\Sigma$  é um hiperplano transversal a  $\Gamma$  em  $x_0$ , então para qualquer  $x \in \Sigma$  perto o suficiente de  $x_0$ , a solução de (3.7) através de  $x$  em  $t = 0$ ,  $\phi_t(x)$ , cruzará  $\Sigma$  de novo no ponto  $P(x)$  perto de  $x_0$ ; veja Figura 3.1. A aplicação  $x \mapsto P(x)$  é chamada aplicação de retorno de Poincaré. O seguinte teorema, tomado de [8], estabelece as condições de existência da aplicação de Poincaré.

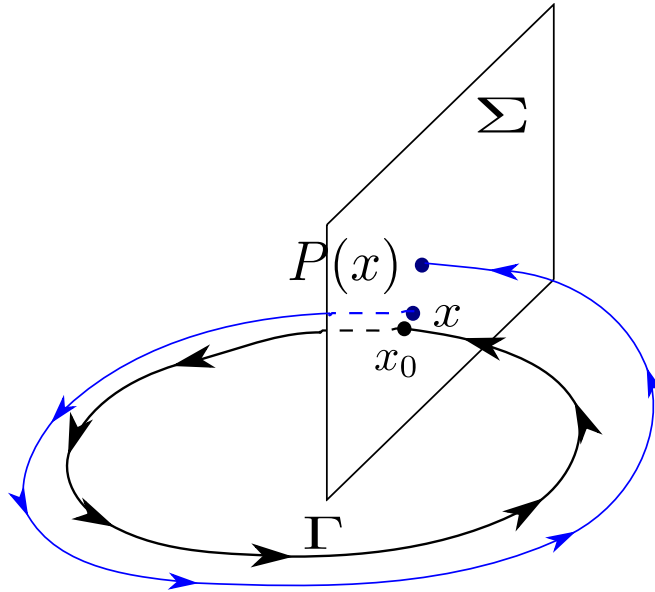


Figura 3.1: A aplicação de retorno de Poincaré.

**Teorema 3.1.** *Seja  $E$  um subconjunto aberto de  $\mathbb{R}^n$  e  $f \in C^1(E)$ . Suponha que  $\phi_t(x_0)$  é uma solução periódica de (3.7) de período  $T$  e que a curva fechada*

$$\Gamma = \{x \in \mathbb{R}^n \mid x = \phi_t(x_0), \quad 0 \leq t \leq T\}$$

*esteja contido em  $E$ . Seja  $\Sigma$  o hiperplano ortogonal a  $\Gamma$  em  $x_0$ , isto é*

$$\Sigma = \{x \in \mathbb{R}^n \mid (x - x_0) \cdot f(x_0) = 0\}.$$

Então existe um  $\delta > 0$  e uma única função  $\tau(x)$ , definida e continuamente diferenciável numa vizinhança de  $x_0$  de raio  $\delta$ ,  $N_\delta(x_0)$ , tais que  $\tau(x_0) = T$  e

$$\phi_{\tau(x)}(x) \in \Sigma$$

para todo  $x \in N_\delta(x_0)$ .

**Definição 3.1.** Sejam  $\Gamma, \Sigma, \delta$  e  $\tau(x)$  definidos como no Teorema 3.1. Então para  $x \in N_\delta(x_0) \cap \Sigma$ , a aplicação

$$P(x) = \phi_{\tau(x)}(x)$$

é chamada de **aplicação de retorno de Poincaré** para  $\Gamma$  em  $x_0$ .

Com respeito ao nosso caso particular, vamos definir a *aplicação de primeiro retorno*  $P$  para o sistema (3.2).

Sejam  $\Sigma_c = \sigma^{-1}(\Sigma)$ ,  $\Sigma$  como na definição de seção transversal, e no caso em que  $h^{-1}(0) \cap \sigma(\mathbb{R}_*^{n-1}) = \emptyset$ , onde  $h$  está definido como na seção transversal, tomamos  $c = \infty$ . Aqui  $c$  é tal que  $\Sigma = \{(x_1, 0, x_2, \dots, x_{n-1}) \in \mathbb{R}^n : x_1 \in (0, c)\}$ . Assim, ajustando  $\Sigma$  se necessário,  $P$  se define da seguinte maneira

$$\begin{aligned} P : \Sigma_c \times [0, \epsilon_0) &\longrightarrow \Sigma_c \\ (\xi, \epsilon) &\longmapsto P(\xi, \epsilon), \end{aligned}$$

onde

$$P(\xi, \epsilon) := (x_1(T(\xi, \epsilon), \xi, \epsilon), x_2(T(\xi, \epsilon), \xi, \epsilon), \dots, x_n(T(\xi, \epsilon), \xi, \epsilon))$$

com  $\epsilon_0$  um número real positivo, suficientemente pequeno, e  $T = T(\xi, \epsilon) > 0$  o menor tempo tal que  $x(T(\xi, \epsilon), \xi, \epsilon) \in \Sigma$ , onde tal tempo é solução de  $x_2(T(\xi, \epsilon), \xi, \epsilon) = 0$ , visto que  $\Sigma$  é subconjunto de  $x_2 = 0$ . Note que  $T(\xi, 0) = 2\pi$  e  $P(\xi, 0) = \xi, \forall \xi \in \Sigma_c$ .

Vale ressaltar que uma órbita periódica do sistema (3.2) se torna um ponto fixo para a função  $P$ . Desse modo, quer-se estudar os zeros da chamada *função separação*, que se define como

$$\begin{aligned} \delta : \Sigma_c \times [0, \epsilon_0) &\longrightarrow \mathbb{R}^{n-1} \\ (\xi, \epsilon) &\longmapsto \delta(\xi, \epsilon) = P(\xi, \epsilon) - \xi. \end{aligned}$$

Pelo exposto, sabe-se que  $\delta(\xi, 0) = 0 \forall \xi \in \Sigma_c$  e também tem-se que  $\delta_\xi(\xi, 0) = 0 \forall \xi \in \Sigma_c$ . De fato,

$$\delta(\xi, \epsilon) = (\delta_1(\xi, \epsilon), \delta_2(\xi, \epsilon), \dots, \delta_{n-1}(\xi, \epsilon)), \quad (\xi, \epsilon) \in \Sigma_c \times [0, \infty),$$

com

$$\begin{aligned} \delta_1(\xi, \epsilon) &= x_1(T(\xi, \epsilon), \xi, \epsilon) - \xi_1, \\ \delta_2(\xi, \epsilon) &= x_3(T(\xi, \epsilon), \xi, \epsilon) - \xi_2, \\ &\vdots \\ \delta_{n-1}(\xi, \epsilon) &= x_n(T(\xi, \epsilon), \xi, \epsilon) - \xi_{n-1}, \end{aligned}$$

e, portanto, segue que

$$\delta(\xi, 0) = \xi - \xi = 0.$$

Além disto,

$$\delta_\xi(\xi, \epsilon) = [\delta_{i\xi_j}(\xi, \epsilon)],$$

sendo  $\delta_{i\xi_j}(\xi, \epsilon) = \frac{\partial}{\partial \xi_j} \delta_i(\xi, \epsilon)$ ,  $i, j = 1, \dots, n-1$ . Logo, aplicando  $\delta_\xi(\xi, \epsilon)$  em  $\epsilon = 0$ , temos que  $\delta_\xi(\xi, 0) = [0]$ .

Neste ponto, tem-se a questão de saber se para  $\epsilon > 0$  existe  $\xi_\epsilon$  tal que  $\delta(\xi_\epsilon, \epsilon) = 0$ , já que essa condição garantiria a existência de uma órbita periódica no sistema (3.2). No caso, calculando o desenvolvimento em série de Taylor da função  $P$  em relação a variável  $\epsilon$ , em torno de  $\epsilon = 0$  e até o termo de grau 2 temos que

$$P(\xi, \epsilon) = P(\xi, 0) + \epsilon P_\epsilon(\xi, 0) + O_P(\xi, \epsilon^2),$$

onde

$$O_P(\xi, 0) \equiv 0 \quad e \quad P_\epsilon(\xi, \epsilon) = \frac{\partial}{\partial \epsilon} P(\xi, \epsilon).$$

Desse modo,

$$\delta(\xi, \epsilon) = P(\xi, \epsilon) - \xi = \epsilon(P_\epsilon(\xi, 0) + O_P(\xi, \epsilon)).$$

Então,

$$\delta(\xi, \epsilon) = 0 \iff P_\epsilon(\xi, 0) + O_P(\xi, \epsilon) = 0.$$

Para dar condições de existência ao mencionado  $\xi_\epsilon$ , precisamos definir mais uma aplicação como segue-se

$$\begin{aligned} \Delta : \Sigma_c \times [0, \epsilon_0) &\longrightarrow \mathbb{R}^{n-1} \\ (\xi, \epsilon) &\longmapsto \Delta(\xi, \epsilon) = P_\epsilon(\xi, 0) + O_P(\xi, \epsilon). \end{aligned}$$

Esta função satisfaz  $\delta(\xi, \epsilon) = \epsilon\Delta(\xi, \epsilon)$  e, portanto,  $\Delta(\xi, 0) = P_\epsilon(\xi, 0)$ .

**Definição 3.2.** *Um zero simples ou um ponto singular simples de  $\xi \mapsto \Delta(\xi, 0)$ , é um ponto  $\xi_0 \in \Sigma_c$  tal que  $\Delta(\xi_0, 0) = 0$  e  $\Delta_\xi(\xi_0, 0)$  é uma matriz não singular ou, equivalentemente,  $P_\epsilon(\xi_0, 0) = 0$  e  $P_{\epsilon\xi}(\xi_0, 0)$  é invertível.*

**Proposição 3.1.** *Se  $\xi_0 \in \Sigma_c$  é zero simples de  $\xi \mapsto \Delta(\xi, 0)$ , então existe uma única função*

$$\begin{aligned} \beta : V \subset [0, \epsilon_0) &\longrightarrow U \subset \Sigma_c \\ \epsilon &\longmapsto \beta(\epsilon) = \xi \end{aligned}$$

de classe  $C^r$ , com  $0 \in V$ , tal que  $\Delta(\beta(\epsilon), \epsilon) = 0$ ,  $\forall \epsilon \in V$ ,  $\beta(0) = \xi_0$  e

$$\begin{aligned} \beta(\epsilon) &= \beta(0) + \beta'(0)\epsilon + O_\beta(\epsilon^2) \\ &= \xi_0 - \Delta_\xi(\xi_0, 0)^{-1}\Delta_\epsilon(\xi_0, 0)\epsilon + O_\beta(\epsilon^2). \end{aligned}$$

*Demonstração.* Suponha  $\xi_0 \in \Sigma_c$  um zero simples de  $\xi \mapsto \Delta(\xi, 0)$ , ou seja,  $\Delta(\xi_0, 0) = 0$  e  $\Delta_\xi(\xi_0, 0)$  é não singular. Assim, todas as hipóteses do *Teorema da Função Implícita* são satisfeitas. Portanto, existem uma vizinhança  $U \times V \subset \Sigma_c \times [0, \varepsilon_0)$ , com  $(\xi_0, 0) \in U \times V$  e uma única função  $\beta : V \rightarrow U$ , de classe  $C^r$ , tal que  $\beta(0) = \xi_0$  e  $\Delta(\beta(\varepsilon), \varepsilon) = 0$  para todo  $\varepsilon \in V$ . E, portanto, o resultado segue.  $\square$

Tendo o resultado que sustenta a existência do  $\xi_\varepsilon$  procurado, resta agora encontrar uma expressão que permita seu cálculo. Tal fórmula será a Integral Abeliana associada ao nosso problema. Isto será feito através dos zeros de  $P_\varepsilon(\xi, 0)$ .

Com efeito, note os seguintes pontos fundamentais

1.  $P(\xi, \varepsilon) = \pi_2(x(T(\xi, \varepsilon), \xi, \varepsilon))$  onde  $\pi_2$  é a projeção em  $x_2 = 0$ , isto é

$$\begin{aligned} \pi_2 : \mathbb{R}^n &\longrightarrow \mathbb{R}^{n-1} \\ (x_1, \dots, x_n) &\longmapsto \pi_2(x_1, \dots, x_n) = (x_1, x_3, \dots, x_n). \end{aligned}$$

2. Segue do Lema 3.1 que

$$\frac{\partial}{\partial \varepsilon} x(T, \xi, \varepsilon) = \int_0^T e^{(T-s)A} G(x(s, \xi, \varepsilon)) ds + \varepsilon \frac{\partial}{\partial \varepsilon} \left( \int_0^T e^{(T-s)A} G(x(s, \xi, \varepsilon)) ds \right).$$

Logo, em  $\varepsilon = 0$  resulta que

$$\begin{aligned} \partial_\varepsilon x(2\pi, \xi, 0) &= \int_0^{2\pi} e^{(2\pi-s)A} G(x(s, \xi, 0)) ds \\ &= \int_0^{2\pi} e^{(2\pi-s)A} G(e^{sA} x_0) ds. \end{aligned}$$

Note que  $e^{(2\pi-s)A} G(e^{sA} x_0)$  é igual a

$$\begin{pmatrix} \cos s & \sen s & 0 & \dots & 0 \\ -\sen s & \cos s & 0 & \dots & 0 \\ 0 & 0 & 1 & \dots & 0 \\ \vdots & \vdots & \vdots & \ddots & \vdots \\ 0 & 0 & 0 & \dots & 1 \end{pmatrix} \begin{pmatrix} g_1(\xi_1 \cos s, \xi_1 \sen s, \xi_2, \dots, \xi_{n-1}) \\ g_2(\xi_1 \cos s, \xi_1 \sen s, \xi_2, \dots, \xi_{n-1}) \\ g_3(\xi_1 \cos s, \xi_1 \sen s, \xi_2, \dots, \xi_{n-1}) \\ \vdots \\ g_n(\xi_1 \cos s, \xi_1 \sen s, \xi_2, \dots, \xi_{n-1}) \end{pmatrix} =$$

$$\begin{pmatrix} g_1(\xi_1 \cos s, \xi_1 \sin s, \xi_2, \dots, \xi_{n-1}) \cos s + g_2(\xi_1 \cos s, \xi_1 \sin s, \xi_2, \dots, \xi_{n-1}) \sin s \\ g_2(\xi_1 \cos s, \xi_1 \sin s, \xi_2, \dots, \xi_{n-1}) \cos s - g_1(\xi_1 \cos s, \xi_1 \sin s, \xi_2, \dots, \xi_{n-1}) \sin s \\ g_3(\xi_1 \cos s, \xi_1 \sin s, \xi_2, \dots, \xi_{n-1}) \\ \vdots \\ g_n(\xi_1 \cos s, \xi_1 \sin s, \xi_2, \dots, \xi_{n-1}) \end{pmatrix}.$$

Com isto,

$$\begin{aligned} \partial_\epsilon P(\xi, \epsilon) &= \partial_\epsilon(\pi_2 \circ x(T(\xi, \epsilon), \xi, \epsilon)) \\ &= d\pi_2(x(T(\xi, \epsilon), \xi, \epsilon)) \partial_\epsilon(x(T(\xi, \epsilon), \xi, \epsilon)) \\ &= d\pi_2(\dot{x} \partial_\epsilon T(\xi, \epsilon) + \partial_\epsilon x) \\ &= d\pi_2((Ax + \epsilon G(x)) \partial_\epsilon T(\xi, \epsilon) + \partial_\epsilon x) \\ &= d\pi_2 Ax \partial_\epsilon T + \epsilon d\pi_2 G(x) \partial_\epsilon T + d\pi_2 \partial_\epsilon x. \end{aligned}$$

Calculando em  $\epsilon = 0$ ,

$$\begin{aligned} P_\epsilon(\xi, 0) &= d\pi_2 Ax_0(\partial_\epsilon T)|_{\epsilon=0} + d\pi_2(\partial_\epsilon x)|_{\epsilon=0} \\ &= d\pi_2(\partial_\epsilon x)|_{\epsilon=0}. \end{aligned}$$

Por fim obtemos a seguinte aplicação dependendo somente das funções na perturbação,  $g_1, \dots, g_n$ ,

$$P_\epsilon(\xi, 0) = \begin{pmatrix} \int_0^{2\pi} g_1(\xi_1 \cos s, \xi_1 \sin s, \dots, \xi_{n-1}) \cos s + g_2(\xi_1 \cos s, \xi_1 \sin s, \dots, \xi_{n-1}) \sin s \, ds \\ \int_0^{2\pi} g_3(\xi_1 \cos s, \xi_1 \sin s, \dots, \xi_{n-1}) \, ds \\ \vdots \\ \int_0^{2\pi} g_n(\xi_1 \cos s, \xi_1 \sin s, \dots, \xi_{n-1}) \, ds \end{pmatrix}.$$

Portanto, com os pontos  $\xi_0$  que são zeros simples de  $P_\epsilon(\xi, 0)$ , isto é os pontos  $\xi_0 \in \Sigma_c$  tais que  $P_\epsilon(\xi_0, 0) = 0$  e  $P_{\epsilon\xi}(\xi_0, 0)$  é invertível, obtem-se os pontos de continuação de órbitas periódicas que persistem em  $\mathbb{R}^n$  para um valor de  $\epsilon > 0$ , suficientemente pequeno.

### 3.4 Integral Abeliana em $\mathbb{R}^n$

O presente teorema faz resumo a ideia central deste capítulo.

**Teorema 3.2.** *Considere a aplicação  $F : \Sigma_c \rightarrow \mathbb{R}^{n-1}$  dada por*

$$F(\xi) = \begin{pmatrix} \int_0^{2\pi} g_1(\xi_1 \cos s, \xi_1 \sin s, \dots, \xi_{n-1}) \cos s + g_2(\xi_1 \cos s, \xi_1 \sin s, \dots, \xi_{n-1}) \sin s \, ds \\ \int_0^{2\pi} g_3(\xi_1 \cos s, \xi_1 \sin s, \dots, \xi_{n-1}) \, ds \\ \vdots \\ \int_0^{2\pi} g_n(\xi_1 \cos s, \xi_1 \sin s, \dots, \xi_{n-1}) \, ds \end{pmatrix}.$$

Suponha  $\xi_0 \in \Sigma_c$  um zero simples de  $F$ , isto é  $F(\xi_0) = 0$  e  $\det(DF(\xi_0)) \neq 0$ , então o sistema  $(1.4)_{\epsilon > 0}$  possui um ciclo limite persistente do sistema não perturbado  $(1.4)_{\epsilon=0}$ , para  $\epsilon$  suficientemente pequeno. Além disso, a órbita periódica de  $(1.4)_\epsilon$  é da forma

$$X(t, \epsilon) = (\xi_{01} \cos t, \xi_{01} \sin t, \xi_{02}, \dots, \xi_{0n-1}) + O_X(t, \epsilon)$$

onde  $\xi_0 = (\xi_{01}, \xi_{02}, \dots, \xi_{0n-1})$ , para  $\epsilon > 0$  suficientemente pequeno. Desse modo,

$$X(t, \epsilon) \rightarrow (\xi_{01} \cos t, \xi_{01} \sin t, \xi_{02}, \dots, \xi_{0n-1})$$

quando  $\epsilon \rightarrow 0$ .

# Capítulo 4

## Modelos em $\mathbb{R}^3$

Nesta seção, são apresentados alguns modelos de sistemas de equações diferenciais suaves em  $\mathbb{R}^3$  que exibem a existência de ciclos limites após serem perturbados.

### 4.1 Sistema de Nosé - Hoover

O sistema de equações diferenciais ordinárias dado por

$$\begin{cases} \dot{x} = -y - xz \\ \dot{y} = x \\ \dot{z} = \alpha(x^2 - 1), \end{cases} \quad (4.1)$$

onde  $\alpha$  é um número real positivo ou nulo, é conhecido como o oscilador Nosé-Hoover [6],[7]. O referido sistema, amplamente estudado e obtido a partir das proposições feitas por Nosé no artigo *A molecular dynamics method for simulations in the canonical ensemble* sobre os novos paradigmas no estudo da dinâmica molecular, foi formulado e estudado por Hoover e colaboradores, que mostraram seu amplo comportamento dinâmico em 1986. Em síntese, o sistema modela um oscilador harmônico unidimensional obtido pelas equações canônicas do movimento de Nosé.

Observe que para  $\alpha > 0$  o sistema não tem pontos de equilíbrio. Então, considere-se o



seguinte sistema diferencial

$$\begin{cases} \dot{x} = -y - axz \\ \dot{y} = x \\ \dot{z} = b(x^2 - 1), \end{cases} \quad (4.2)$$

onde  $x, y$  e  $z$  são as variáveis,  $a$  e  $b$  parâmetros reais.

Do sistema (4.1) obtém-se o sistema (4.2) através de um redimensionamento da variável  $z$ ,  $z \rightarrow aZ$ . Fazendo redimensionamento, considerando  $b = \alpha/a$  e chamando  $Z = z$  de novo, é gerado o sistema (4.2), o qual é topologicamente equivalente ao sistema (4.1) para  $a \neq 0$ .

A seguir, é mostrado analiticamente a existência de uma órbita periódica para o sistema (4.2) por meio da teoria descrita no capítulo anterior.

**Teorema 4.1.** *Para  $ab \neq 0$ , existe  $0 < \varepsilon_0 \ll 1$  tais que para todo  $\epsilon \in (0, \varepsilon_0)$  o sistema (4.2) com  $a = \epsilon\bar{a}$  e  $b = \epsilon\bar{b}$  (para  $\bar{a} \neq 0$  e  $\bar{b} \neq 0$  pequenos) tem uma órbita periódica  $\gamma_\epsilon$ , que tende para o círculo  $x^2 + y^2 = 2, z = 0$  quando  $\epsilon \rightarrow 0$ .*

**Demonstração.** Tomando  $a = \epsilon\bar{a}$  e  $b = \epsilon\bar{b}$  com  $\epsilon$  pequeno o suficiente e  $\bar{a}\bar{b} \neq 0$  no sistema (4.2), este escreve-se como segue

$$\begin{cases} \dot{x} = -y - \epsilon\bar{a}xz \\ \dot{y} = x \\ \dot{z} = \epsilon\bar{b}(x^2 - 1). \end{cases} \quad (4.3)$$

O sistema (4.3) pode-se reescrever de forma conveniente para que sua abordagem seja mais simples. Portanto, definindo as funções  $g_1(x, y, z) = -\bar{a}xz$ ,  $g_2(x, y, z) = 0$  e  $g_3(x, y, z) = \bar{b}(x^2 - 1)$  o sistema toma a forma

$$\begin{cases} \dot{x} = -y + \epsilon g_1(x, y, z) \\ \dot{y} = x + \epsilon g_2(x, y, z) \\ \dot{z} = \epsilon g_3(x, y, z). \end{cases} \quad (4.4)$$

Em notação matricial, este sistema reduz-se a

$$X' = AX + \epsilon G(X),$$

onde  $X \in \mathbb{R}^3$ ,  $\epsilon > 0$ ,  $G(X) = (g_1(X), g_2(X), g_3(X))$  e

$$A = \begin{pmatrix} 0 & -1 & 0 \\ 1 & 0 & 0 \\ 0 & 0 & 0 \end{pmatrix}.$$

Desse modo, a aplicação  $F$  do teorema 3.2 para o sistema 4.4 está definida assim:

$F : \Sigma_c \rightarrow \mathbb{R}^2$ , onde  $\Sigma_c$  é um subconjunto de  $\{(x_1, x_3) \in \mathbb{R}^2 : x_1 > 0\}$ , dada por

$$\begin{aligned} F(\xi) &= \begin{pmatrix} \int_0^{2\pi} (g_1(\xi_1 \cos s, \xi_1 \sin s, \xi_2) \cos s + g_2(\xi_1 \cos s, \xi_1 \sin s, \xi_2) \sin s) ds \\ \int_0^{2\pi} g_3(\xi_1 \cos s, \xi_1 \sin s, \xi_2) ds \end{pmatrix} \\ &= \begin{pmatrix} \int_0^{2\pi} -\bar{a} \xi_1 \xi_2 \cos^2 s ds \\ \int_0^{2\pi} \bar{b} (\xi_1^2 \cos^2 s - 1) ds \end{pmatrix} \\ &= \begin{pmatrix} -\bar{a} \pi \xi_1 \xi_2 \\ \bar{b} \pi (\xi_1^2 - 2) \end{pmatrix}. \end{aligned}$$

Note que  $F(\xi) = 0$  se, e somente se,  $\xi = \xi_0 = (\sqrt{2}, 0)$ . O determinante da matriz jacobiana de  $F$  neste ponto é:

$$\det(F_\xi(\xi_0)) = \begin{pmatrix} 0 & -\sqrt{2}\bar{a}\pi \\ 2\sqrt{2}\pi\bar{b} & 0 \end{pmatrix} = 4\pi^2\bar{a}\bar{b} \neq 0$$

Com isso,  $\xi_0$  é um zero simples da aplicação  $F$  e, portanto, é um ponto de continuação de uma órbita periódica  $X$  que persiste para o sistema (4.2), após a perturbação para  $\epsilon > 0$ , suficientemente pequeno. Tal órbita tem a seguinte representação

$$X(t, \beta(\epsilon), \epsilon) = X(t, \xi_0, 0) + O_X(t, \epsilon) = (\sqrt{2} \cos t, \sqrt{2} \sin t, 0) + O_X(t, \epsilon),$$

onde  $O_X(t, \epsilon)$  é uma função com desenvolvimento de Taylor na variável  $\epsilon$ , em torno de  $\epsilon = 0$ , com  $O_X(t, 0) = 0$ .

## 4.2 Sistema de Hopf-Langford

Nesta seção estudaremos o chamado sistema de Hopf-Langford, um sistema de equações diferenciais não-lineares em  $\mathbb{R}^3$  dependendo de 5 parâmetros reais  $a, b, \alpha, \beta, \lambda$  dado pela seguinte forma:

$$\begin{cases} \dot{x} = (z - b)x - y \\ \dot{y} = x + (z - b)y \\ \dot{z} = \lambda + az - \beta(x^2 + y^2) - \alpha z^3. \end{cases} \quad (4.5)$$

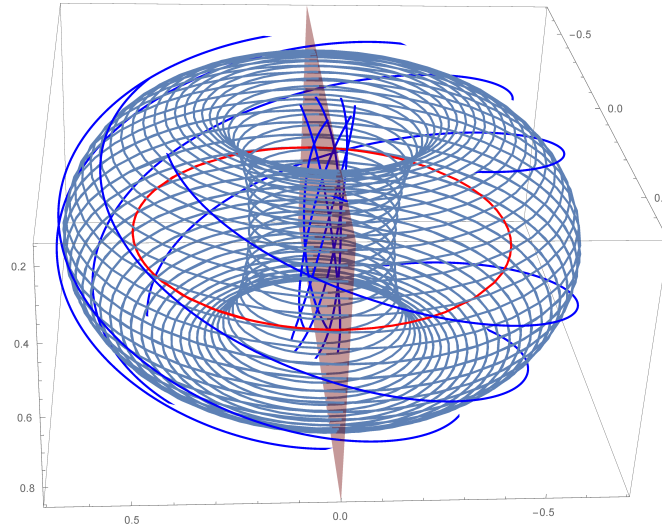


Figura 4.1: Órbitas no retrato de fase do sistema de Hopf-Langford.

Mostraremos analiticamente que esse sistema (4.5) apresenta o surgimento de uma órbita periódica atratora quando o parâmetro  $a$  for maior que um parâmetro crítico  $a_0 = a_0(b, \alpha, \beta, \lambda)$ , que explicitaremos a seguir.

Inicialmente, para  $\epsilon > 0$  reescalonaremos (4.5) por

$$x = \epsilon \bar{x}, \quad y = \epsilon \bar{y}, \quad z = \epsilon \bar{z}, \quad a = \epsilon \bar{a}, \quad b = \epsilon \bar{b}, \quad \alpha = \epsilon^{-1} \bar{\alpha}$$

e abandonaremos as barras nas variáveis  $(\bar{x}, \bar{y}, \bar{z})$  e nos parâmetros  $(\bar{a}, \bar{b})$  para obter o seguinte sistema equivalente

$$\begin{cases} \dot{x} = -y + \epsilon(z - b)x \\ \dot{y} = x + \epsilon(z - b)y \\ \dot{z} = \epsilon(az - x^2 - y^2 - z^3), \end{cases} \quad (4.6)$$

onde, por simplicidade da exposição, tomamos  $\lambda = 0$ ,  $\beta = 1$  e  $\alpha = 1$ . Dessa forma,  $\epsilon$  é o parâmetro de bifurcação e  $a, b$  são constantes.

**Teorema 4.2.** *Considere  $b > 0$  e  $\epsilon > 0$  suficientemente pequeno. Se  $a > b^2$ , então o sistema de Hopf-Langford (4.6) tem uma única órbita periódica atratora dada por*

$$X(t, a, \epsilon) = (r_0 \cos t, r_0 \sin t, z_0) + O_X(t, \epsilon)$$

onde  $r_0 = \sqrt{b(a - b^2)}$  e  $z_0 = b$ , para todo  $t \in \mathbb{R}$ .

A prova é uma aplicação direta das integrais Abelianas desenvolvidas anteriormente.

**Demonstração.** Queremos encontrar  $r^*$  tal que  $F(r^*) = (0, 0)$  e  $F(r^*)$  é invertível para aplicar Teorema 3.2.

Nesse caso as integrais Abelianas

$$F_1(r) = \int_0^{2\pi} (\cos s)g_1(r_1 \cos s, r_1 \sin s, r_2) + \sin s g_2(r_1 \cos s, r_1 \sin s, r_2) ds$$

e

$$F_2(r) = \int_0^{2\pi} g_3(r_1 \cos s, r_1 \sin s, r_2) ds$$

fornece

$$F_1(r) = 2\pi r_1(r_2 - b) e F_2(r, a) = 2\pi(ar_2 - r_1^2 - r_2^3).$$

Temos que  $F_1(r) = F_2(r) = 0$  possui uma única solução  $(r_1^*, r_2^*)$  com  $r_1^* > 0$  dada por

$$r_1^* = \sqrt{b(a - b^2)}, \quad r_2^* = b.$$

Note que o determinante Jacobiano de  $F(r)$  em  $(r_1^*, r_2^*)$  é precisamente

$$8\pi^2 b(a - b^2).$$

Portanto, para  $a > b^2$  e  $\epsilon > 0$  suficientemente pequeno temos a existência de uma solução periódica da forma

$$X(t, a, \epsilon) = (r_0 \cos t, r_0 \sin t, z_0) + O_X(t, \epsilon)$$

com  $r_0 = r_1^*$  e  $z_0 = r_2^*$ . Além disso,  $X(t, a, \epsilon) \rightarrow (r_0 \cos t, r_0 \sin t, z_0)$  quando  $\epsilon \rightarrow 0$ . Em suma, o sistema (4.5) possui uma órbita periódica com a escolha dos parâmetros feitas como anteriormente, isso prova o teorema. Veja a simulação da órbita periódica na Figura 5.1.

### 4.3 Sistema de Rössler

Entre os vários sistemas inventados por Rössler, aquele que se tornou mais famoso é provavelmente [12]

$$\begin{cases} \dot{x} = -y - z, \\ \dot{y} = x + ay, \\ \dot{z} = bx - cz + xz. \end{cases} \quad (4.7)$$

Mesmo que os sistemas Rössler foram criados para estudar a existência de atratores estranhos, muitos autores estudaram as órbitas periódicas desses sistemas de Rössler dependendo de seus parâmetros. Por exemplo, em ([3]) é estudado a existência ou não existência de equilíbrios zero-Hopf e bifurcações zero-Hopf em sistemas de Rössler através do método do averaging.

**Definição 4.1.** *Um equilíbrio zero-Hopf é um ponto de equilíbrio isolado com autovalores 0 e  $\pm\omega i$ , onde  $\omega > 0$ .*

Em nosso estudo, quer-se fazer a mesma caracterização dos pontos de equilíbrio do sistema (4.7) mas tomando como base o método das integrais abelianas. Os resultados via esta metodologia são os seguintes

**Proposição 4.1.** *Há duas famílias a um parâmetro de sistemas Rössler para as quais a origem é um ponto de equilíbrio zero-Hopf. Isto é*

(i)  $a = c \in (-\sqrt{2}, \sqrt{2})$  e  $b = 1$ ;

(ii)  $a = c = 0$  e  $b \in (-1, \infty)$ .

**Teorema 4.3.** *Seja  $\alpha$ ,  $\beta$  e  $\gamma$  números reais positivos, com  $\alpha > \gamma$ . Se  $(a, b, c) = (\bar{a} + \epsilon\alpha, 1 + \epsilon\beta, \bar{a} + \epsilon\gamma)$  com  $\bar{a} \in (-\sqrt{2}, \sqrt{2}) \setminus \{0\}$ , então o sistema de Rössler (4.7) tem uma bifurcação zero-Hopf no ponto de equilíbrio localizado na origem, e uma órbita periódica surge deste equilíbrio quando  $\epsilon \geq 0$ .*

**Demonstração.** Primeiramente vamos calcular os pontos de equilíbrio do sistema (4.7), ou seja os pontos nos quais o campo de vetores definido por (4.7), denotado por  $F(x, y, z)$ , se anula, isto é

$$\begin{aligned} -y - z &= 0, \\ x + ay &= 0, \\ bx - cz + xz &= 0. \end{aligned}$$

Os ditos pontos são os seguintes

$$P_1 = (0, 0, 0) \text{ e } P_2 = \left( c - ab, \frac{ab - c}{a}, \frac{c - ab}{a} \right).$$

A parte linear do campo (3.7) está dada por

$$DF(x, y, z) = \begin{pmatrix} 0 & -1 & -1 \\ 1 & a & 0 \\ b & 0 & x - c \end{pmatrix}.$$

Substituindo o ponto  $P_1 = (0, 0, 0)$  em  $DF$  obtém-se

$$DF(P_1) = \begin{pmatrix} 0 & -1 & -1 \\ 1 & a & 0 \\ b & 0 & -c \end{pmatrix}.$$

O polinômio característico desta matriz é

$$P(w) = w^3 + (c - a)w^2 + (1 + b - ac)w + c - ab.$$

Para que o ponto  $P_1$  seja um equilíbrio zero-Hopf devemos ter que

$$P(w) = w(w^2 + \lambda^2).$$

Logo,  $P_1$  vai satisfazer essa condição quando

- (i)  $a = c = 0$  e  $b = \lambda^2 - 1$  com  $\lambda \in (0, \infty)$ ; ou
- (ii)  $a = c = \pm\sqrt{2 - \lambda^2}$ , e  $b = 1$ , com  $w \in (0, \sqrt{2})$ .

Com os parâmetros dados no teorema 4.3, da proposição 4.1 (ii) e o redimensionamento das variáveis dado por

$$\begin{cases} x = \epsilon y_1 \\ y = \epsilon y_2 \\ z = \epsilon y_3, \end{cases} \quad (4.8)$$

o sistema de Rössler fica como segue

$$\begin{cases} \dot{y}_1 = -y_2 - y_3 \\ \dot{y}_2 = y_1 + \sqrt{2 - \lambda^2}y_2 + \epsilon\alpha y_2 \\ \dot{y}_3 = y_1 - \sqrt{2 - \lambda^2}y_3 + \epsilon(\beta y_1 - \gamma y_3 + y_1 y_3). \end{cases} \quad (4.9)$$

Ou em forma matricial,

$$Y' = BY + \epsilon H(Y),$$

com  $Y = (y_1, y_2, y_3) \in \mathbb{R}^3$ ,

$$B = \begin{pmatrix} 0 & -1 & -1 \\ 1 & \sqrt{2-\lambda^2} & 0 \\ 1 & 0 & -\sqrt{2-\lambda^2} \end{pmatrix}$$

e

$$H : \mathbb{R}^3 \rightarrow \mathbb{R}^3$$

$$Y \rightarrow H(Y) = (0, \alpha y_2, \beta y_1 - \gamma y_3 + y_1 y_3).$$

Agora, vamos levar a matriz  $B$  a sua forma de Jordan, isto é,

$$A = \begin{pmatrix} 0 & -1 & 0 \\ 1 & 0 & 0 \\ 0 & 0 & 0 \end{pmatrix}.$$

Para esse fim, vamos calcular os autovetores de  $B$ , a saber

$$V_1 = (\sqrt{2-\lambda^2}, -1, 1)$$

$$V_2 = (i\lambda + \sqrt{2-\lambda^2}, -1 + \lambda^2 - i\lambda\sqrt{2-\lambda^2}, 1)$$

$$V_3 = (-i\lambda + \sqrt{2-\lambda^2}, -1 + \lambda^2 + i\lambda\sqrt{2-\lambda^2}, 1).$$

Definindo a matriz  $P = (Im(V_2), Re(V_2), V_1)$  temos que

$$P = \begin{pmatrix} \lambda & \sqrt{2-\lambda^2} & \sqrt{2-\lambda^2} \\ -\lambda\sqrt{2-\lambda^2} & 1-\lambda^2 & -1 \\ 0 & 1 & 1 \end{pmatrix},$$

e

$$\lambda A = P^{-1}BP.$$



Então, considerando a mudança de variável em (4.8),  $X = P^{-1}Y$ , com  $X = (x_1, x_2, x_3) \in \mathbb{R}^3$ , segue que

$$\begin{aligned} X' &= P^{-1}Y' \\ &= P^{-1}BY + \epsilon P^{-1}H(Y) \\ &= (P^{-1}BP)X + \epsilon P^{-1}H(PX) \\ &= \lambda AX + \epsilon G(X), \end{aligned}$$

em que  $G(X) = P^{-1}H(PX)$  possui componentes iguais a

$$G_1(X) = \frac{\epsilon(-\beta\sqrt{2-\lambda^2}\lambda x - \sqrt{2-\lambda^2}\lambda xy - \sqrt{2-\lambda^2}\lambda xz + \gamma\sqrt{2-\lambda^2}y)}{\lambda} + \frac{\lambda^2(y+z)(\beta+y+z) - 2(y+z)(\beta+y+z) + \gamma\sqrt{2-\lambda^2}z}{\lambda},$$

$$G_2(X) = \frac{\epsilon(-\alpha\lambda\sqrt{2-\lambda^2}x + \beta\lambda(\lambda^2-1)x + (\lambda^2-1)y(\alpha-\gamma+\lambda x + \sqrt{2-\lambda^2}(\beta+2z)))}{\lambda^2} - \frac{z(\alpha + (\lambda^2-1)(-\beta\sqrt{2-\lambda^2} + \gamma - \lambda x)) + (\lambda^2-1)\sqrt{2-\lambda^2}y^2 + (\lambda^2-1)\sqrt{2-\lambda^2}z^2}{\lambda},$$

$$G_3(X) = \frac{\epsilon(\lambda x(\alpha\sqrt{2-\lambda^2} + \beta) + y(-\alpha\lambda^2 + \alpha - \gamma + \lambda x + \sqrt{2-\lambda^2}(\beta+2z)))}{\lambda^2} + \frac{z(\alpha + \beta\sqrt{2-\lambda^2} - \gamma + \lambda x) + \sqrt{2-\lambda^2}y^2 + \sqrt{2-\lambda^2}z^2}{\lambda}.$$

Por fim, com o reescalonamento do tempo dado por  $s = \lambda t$ , o modelo alcançado é

$$X'(s/\lambda) = AX(s/\lambda) + \epsilon F(X(s/\lambda)),$$

onde,  $F = \frac{1}{\lambda}G$ ,  $\lambda \neq 0$ .

Agora, seguindo o procedimento feito no modelo de Nosé-Hoover, definimos a função  $F : \Sigma_c \rightarrow \mathbb{R}^2$ , onde  $\Sigma_c$  é um subconjunto de  $\{(x_1, x_3) \in \mathbb{R}^2 : x_1 > 0\}$ , como:

$$\begin{aligned}
F(\xi) &= \begin{pmatrix} \int_0^{2\pi} (g_1(\xi_1 \cos s, \xi_2 \sin s, \xi_1) \cos s + g_2(\xi_1 \cos s, \xi_1 \sin s, \xi_2) \sin s) ds \\ \int_0^{2\pi} g_3(\xi_1 \cos s, \xi_1 \sin s, \xi_2) ds \end{pmatrix} \\
&= \begin{pmatrix} \frac{\pi \xi_1 (\alpha (\lambda^2 - 1) - \gamma \lambda^2 + \gamma + \sqrt{2 - \lambda^2} ((\lambda^2 - 2) \xi_2 - \beta))}{\lambda^3} \\ \frac{\pi (\sqrt{2 - \lambda^2} \xi_1^2 + 2 \xi_2 (\alpha - \gamma + \sqrt{2 - \lambda^2} (\beta + \xi_2)))}{\lambda^3} \end{pmatrix}.
\end{aligned}$$

Um zero da aplicação  $F$ ,  $\xi = (\xi_1, \xi_2)$ , acontece quando

$$(\xi_1, \xi_2) = \left( \frac{\sqrt{2} \sqrt{(\gamma - \alpha)(1 - \bar{a}) + \bar{a} \beta \sqrt{\alpha - \gamma + \bar{a} \beta (1 - \bar{a}^2)}}}{|\bar{a}| \bar{a}^2}, \frac{(\alpha - \gamma)(1 - \bar{a}^2) - \bar{a} \beta}{\bar{a}^3} \right).$$

O ponto anterior vai ser um zero simples se

$$\det(DF(\xi)) \neq 0,$$

e isto ocorre quando

$$\beta(\gamma - \alpha) \neq 0.$$

Para concluir, se  $\beta(\alpha - \gamma) > 0$ , o sistema  $X' = \lambda AX + \epsilon G(X)$  possui uma solução periódica da forma

$$X(t, \xi, \epsilon) = (\xi_1 \cos t, \xi_1 \sin t, \xi_2) + O_X(t, \epsilon)$$

Entretanto, para obter o resultado no sistema de Rössler original, tem-se que ter em conta que  $Y = PX$  e o redimensionamento das variáveis em (4.8). Assim, com a notação

$$Y = Y(t, \epsilon) = \begin{pmatrix} y_1(t, \epsilon) \\ y_2(t, \epsilon) \\ y_3(t, \epsilon) \end{pmatrix},$$

segue que

$$Y(t, \epsilon) = PX(t, \xi_0, 0) + PO_X(t, \epsilon) \quad (4.10)$$

$$(4.11)$$

$$= \begin{pmatrix} 1 & 1 & 1 \\ -1 & 0 & -1 \\ 0 & 1 & 1 \end{pmatrix} \begin{pmatrix} \xi_1 \cos t \\ \xi_1 \sin t \\ \xi_2 \end{pmatrix} + PO_X(t, \epsilon) \quad (4.12)$$

$$= \begin{pmatrix} \xi_1 \cos t + \xi_1 \sin t + \xi_2 \\ -\xi_1 \cos t - \xi_2 \\ \xi_1 \sin t + \xi_2 \end{pmatrix} + O_Y(t, \epsilon). \quad (4.13)$$

De (4.8) resulta que

$$\begin{pmatrix} x(t, \epsilon) \\ y(t, \epsilon) \\ z(t, \epsilon) \end{pmatrix} = \epsilon \begin{pmatrix} y_1(t, \epsilon) \\ y_2(t, \epsilon) \\ y_3(t, \epsilon) \end{pmatrix} \quad (4.14)$$

$$= \begin{pmatrix} \epsilon \xi_1 \cos t + \epsilon \xi_1 \sin t + \epsilon \xi_2 \\ -\epsilon \xi_1 \cos t - \epsilon \xi_2 \\ \epsilon \xi_1 \sin t + \epsilon \xi_2 \end{pmatrix} + \epsilon O_Y(t, \epsilon) \quad (4.15)$$

$$= \begin{pmatrix} \sqrt{b(c-a)} \cos t + \sqrt{b(c-a)} \sin t + 1 - b \\ -\sqrt{b(c-a)} \cos t + b - 1 \\ \sqrt{b(c-a)} \sin t + 1 - b \end{pmatrix} + \begin{pmatrix} O_x(t, \epsilon) \\ O_y(t, \epsilon) \\ O_z(t, \epsilon) \end{pmatrix}. \quad (4.16)$$

Deste modo, obtem-se a representação da órbita periódica que persiste para o sistema de Rössler (4.8) com a escolha adequada dos parâmetros e  $\epsilon$  suficientemente pequeno.

# Capítulo 5

## Modelos em $\mathbb{R}^4$

Neste capítulo, vamos apresentar um novo sistema hipercaótico e o modelo de Lorenz-Haken em  $\mathbb{R}^4$ , e mostrar a existência de ciclos limites sobre certas condições nos seus parâmetros.

### 5.1 Um novo sistema hipercaótico modificado

Nesta seção consideramos um novo sistema hipercaótico em  $\mathbb{R}^4$  com dois termos não-lineares quadráticos, veja [1] e [2],

$$\begin{cases} \dot{x} = ay - ax + ew \\ \dot{y} = bx - fxz + gw \\ \dot{z} = -cz + hxy \\ \dot{w} = -dy. \end{cases} \quad (5.1)$$

Note que a origem  $(0, 0, 0, 0)$  é um ponto de equilíbrio de (5.1).

**Teorema 5.1.** *Considere o sistema ((5.1)) com  $a, b$  e  $c$  parâmetros positivos arbitrariamente pequenos e  $d = \omega^2/g$ , onde  $e, f, g, h, \omega > 0$ . Então um ciclo limite bifurca do ponto de equilíbrio zero-Hopf na origem.*

**Demonstração.** A origem de (5.1) é um ponto de equilíbrio para qualquer escolha dos parâmetros. O polinômio característico  $p(\lambda)$  associado a linearização do sistema nesse

equilíbrio é dado por

$$p(\lambda) = (\lambda + c)(\lambda^3 + a\lambda^2 + (dg - ab)\lambda + adg + bde).$$

Temos que  $(0, 0, 0, 0)$  é um equilíbrio zero-hopf se, e somente se,  $p(\lambda)$  tem a forma  $p(\lambda) = \lambda^2(\lambda^2 + \omega^2)$ , com  $\omega > 0$ . Portanto, temos as igualdades

$$c = 0, \quad a = 0, \quad dg - ab = \omega^2, \quad e \quad adg + bde = 0.$$

Equivalentemente,

$$a = 0, \quad b = 0, \quad c = 0 \quad e \quad d = \omega^2/g,$$

ou

$$a = 0, \quad e = 0, \quad c = 0 \quad e \quad d = \omega^2/g.$$

O primeiro caso sugere considerarmos os parâmetros dados por

$$(a, b, c, d) \mapsto (\epsilon a, \epsilon b, \epsilon c, \epsilon d + \omega^2/g),$$

onde  $\omega > 0$  e  $\epsilon > 0$  suficientemente pequenos. Portanto, segue que a origem é um equilíbrio tipo zero-hopf quando  $\epsilon \rightarrow 0$ . O sistema (5.1) com esses parâmetros fica

$$\begin{cases} \dot{x} = \epsilon ay - \epsilon ax + ew \\ \dot{y} = \epsilon bx - fxz + gw \\ \dot{z} = -\epsilon cz + hxy \\ \dot{w} = -(\epsilon d + \omega^2/g)y. \end{cases} \quad (5.2)$$

Reescalando as variáveis por

$$(x, y, z, w) \mapsto (\epsilon x, \epsilon y, \epsilon z, \epsilon w),$$

o sistema (5.2) pode ser escrito como

$$\begin{cases} \dot{x} = \epsilon a(y - x) + ew \\ \dot{y} = \epsilon(bx - fxz) + gw \\ \dot{z} = \epsilon(hxy - cz) \\ \dot{w} = -(\epsilon d + \omega^2/g)y. \end{cases} \quad (5.3)$$

O objetivo é mostrar analiticamente o surgimento e a localização de um ciclo limite bifurcando desse equilíbrio zero-hopf para  $\epsilon$  pequeno. Para isso, devemos colocar a parte linear do sistema (5.3) na origem em sua forma canônica de Jordan, isto é, na forma

$$\begin{pmatrix} 0 & -\omega & 0 & 0 \\ \omega & 0 & 0 & 0 \\ 0 & 0 & 0 & 0 \\ 0 & 0 & 0 & 0 \end{pmatrix}.$$

Para isso, considere a mudança linear de coordenadas  $(x, y, z, w) \mapsto (\bar{x}, \bar{y}, \bar{z}, \bar{w})$  dada por

$$\begin{cases} x = \frac{e}{\omega}\bar{y} + \bar{w} \\ y = \frac{g}{\omega}\bar{y} \\ z = \bar{z} \\ w = \bar{x}. \end{cases} \quad (5.4)$$

Denotando as variáveis  $(\bar{x}, \bar{y}, \bar{z}, \bar{w})$  novamente por  $(x, y, z, w)$ , o sistema (5.3) assume a forma

$$\begin{cases} \dot{x} = -\omega y - \frac{dgy}{\omega}\epsilon \\ \dot{y} = \omega x + \frac{(b-fz)(ey+w\omega)}{g}\epsilon \\ \dot{z} = \left( \frac{ghy(ey+w\omega)}{\omega^2} - cz \right) \epsilon \\ \dot{w} = \left( -\frac{e(b-fz)(w+\frac{ey}{\omega})}{g} - \frac{a(ey-gy+w\omega)}{\omega} \right) \epsilon. \end{cases} \quad (5.5)$$

Em resumo, colocamos o sistema hipercaótico (5.1) na forma normal (5.5) para aplicarmos o teorema de persistência de órbitas periódicas via integrais abelianas.

Nesse caso as integrais fornecem que

$$F_1(r_1, r_2, r_3) = \int_0^{2\pi} g_1(r_1 \cos s, r_1 \sin s, r_2, r_3) \cos s, ds + \\ + \int_0^{2\pi} g_2(r_1 \cos s, r_1 \sin s, r_2, r_3) \sin s, ds = \frac{\pi e r_1 (b - f r_2)}{g};$$

$$F_2(r_1, r_2, r_3) = \int_0^{2\pi} g_3(r_1 \cos s, r_1 \sin s, r_2, r_3) ds = \pi (e g h r_1^2 - 2 c r_2);$$

$$F_3(r_1, r_2, r_3) = \int_0^{2\pi} g_4(r_1 \cos s, r_1 \sin s, r_2, r_3) ds = -\frac{2\pi r_3 (a g + b e - e f r_2)}{g}.$$

Calculando os zeros de

$$F_1(r_1, r_2, r_3) = F_2(r_1, r_2, r_3) = F_3(r_1, r_2, r_3) = 0$$

temos uma única solução  $(r_1^*, r_2^*, r_3^*)$ , com  $r_1^* > 0$ , dada por

$$(r_1^*, r_2^*, r_3^*) = \left( \sqrt{\frac{2bc}{efgh}}, \frac{b}{f}, 0 \right).$$

Além disso, o determinante Jacobiano de

$$F(r_1, r_2, r_3) = \left( \frac{\pi e r_1 (b - f r_2)}{g}, \pi (e g h r_1^2 - 2 c r_2), \frac{2\pi r_3 (a g + b e - e f r_2)}{g} \right)$$

em  $(r_1^*, r_2^*, r_3^*)$  é

$$-\frac{8\pi^3 abce}{g}.$$

Portanto, temos um ciclo limite da forma

$$X(t, \epsilon) = (r_0 \cos t, r_0 \sin t, z_0, w_0) + O_X(t, \epsilon)$$

de (5.5) onde  $r_0 = r_1^*$ ,  $z_0 = r_2^*$  e  $w_0 = r_3^*$ , para  $\epsilon > 0$  suficientemente pequeno, veja Figura (5.1). Assim

$$X(t, \epsilon) \rightarrow (r_0 \cos t, r_0 \sin t, z_0, w_0)$$

quando  $\epsilon \rightarrow 0$ .

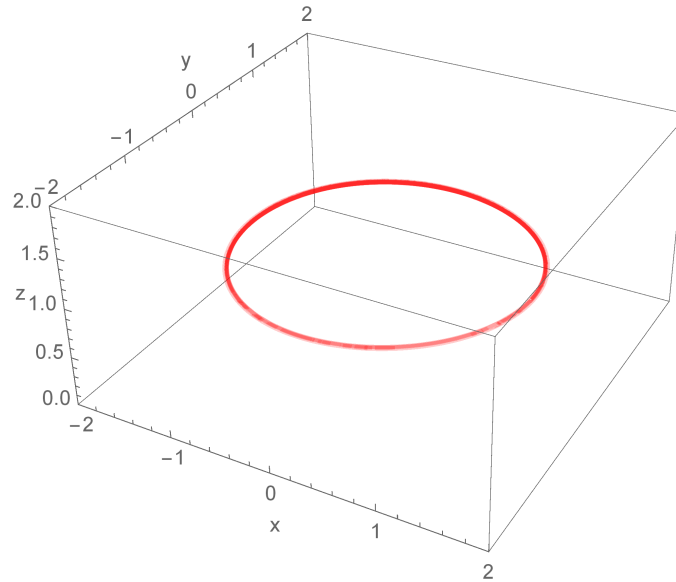


Figura 5.1: Órbita para  $\epsilon = 0.03$  em  $\{w = 0\} = \mathbb{R}^3$ .

Conseqüentemente, feitas as devidas mudanças de coordenadas o sistema original (5.1) possui uma família de órbitas periódicas que tendem a origem quando  $\epsilon$  tende a zero.

Vale ressaltar que a segunda condição

$$a = 0, \quad e = 0, \quad c = 0 \quad e \quad d = \omega^2/g$$

para  $(0, 0, 0, 0)$  ser do tipo zero-Hopf não implica na persistência de órbitas periódicas através dessas integrais abelianas.

## 5.2 Sistema de Lorenz-Haken

O sistema governado pelas equações

$$\begin{cases} \dot{x} = a(y - x), \\ \dot{y} = -cy - dz + (e - w)x, \\ \dot{z} = dy - cz, \\ \dot{w} = -bw + xy, \end{cases} \quad (5.6)$$



onde  $x, y, z, w$  são as variáveis de estado e  $a, b, c, d$  e  $e$  são parâmetros reais, é referenciado como um sistema de Lorenz-Hanken de  $\mathbb{R}^4$  com 5 parâmetros (veja [9]).

Para o estudo das órbitas periódicas desse sistema, começamos encontrando seus pontos de equilíbrio, os quais são

$$P_0 = (0, 0, 0, 0) \text{ e } P_{\pm} = \left( \pm\sqrt{b\Delta}, \pm\sqrt{b\Delta}, \pm\frac{\sqrt{b\Delta}}{c}, \Delta \right),$$

onde

$$\Delta = \frac{ec - c^2 - d^2}{c}.$$

A parte linear do sistema (5.6) está dada por

$$DF(x, y, z, w) = \begin{pmatrix} -a & a & 0 & 0 \\ e - w & -c & -d & -w \\ 0 & d & -c & 0 \\ y & x & 0 & -b \end{pmatrix}.$$

Logo,

$$DF(P_0) = \begin{pmatrix} -a & a & 0 & 0 \\ e & -c & -d & 0 \\ 0 & d & -c & 0 \\ 0 & 0 & 0 & -b \end{pmatrix}.$$

O polinômio característico de  $DF(P_0)$  é igual a

$$P(\lambda) = \lambda^4 + A\lambda^3 + B\lambda^2 + C\lambda + D,$$

onde,

$$\begin{aligned} A &= a + b + c, \\ B &= 2bc + c^2 + d^2 + a(b + 2c - e), \\ C &= b(c^2 + d^2) + a(2bc + c^2 + d^2 - e(b - c)), \\ D &= ab(c^2 + d^2 - ce). \end{aligned}$$

Com base nisso, uma condição para o ponto  $P_0$  ser zero hopf é que  $P(\lambda) = \lambda^2(\lambda^2 + \omega^2)$ , com  $\omega > 0$ , o qual é possível sempre que

$$a = -2c, \quad b = 0, \quad d = -\frac{\sqrt{c^2 + \omega^2}}{\sqrt{3}} \quad e \quad e = \frac{4c^2 + \omega^2}{3c}.$$

Sem perda de generalidade, pode-se assumir  $\omega = 1$ .

Logo, tomando os seguintes valores nos parâmetros:

$$(a, b, c, d, e) = (-2\bar{c} + \epsilon\alpha, \epsilon\beta, \bar{c} + \epsilon\gamma, -\frac{\sqrt{1 + \bar{c}^2}}{\sqrt{3}} + \epsilon\delta, \frac{1 + 4\bar{c}^2}{3\bar{c}} + \epsilon\theta),$$

e considerando a mudança de variáveis

$$\begin{cases} x = \epsilon y_1 \\ y = \epsilon y_2 \\ z = \epsilon y_3 \\ w = \epsilon y_4, \end{cases} \quad (5.7)$$

para  $\epsilon > 0$  pequeno o suficiente, o sistema (5.6) é reescrito como

$$\begin{cases} \dot{y}_1 = (\epsilon\alpha - 2\bar{c})(y_2 - y_1), \\ \dot{y}_2 = -(\bar{c} + \epsilon\gamma)y_2 - (\epsilon\delta - \frac{\sqrt{\bar{c}^2 + 1}}{\sqrt{3}})y_3 + (\frac{4\bar{c}^2 + 1}{3\bar{c}} + \epsilon\theta)y_1 - \epsilon y_4 y_1, \\ \dot{y}_3 = (\epsilon\delta - \frac{\sqrt{\bar{c}^2 + 1}}{\sqrt{3}})y_2 - (\bar{c} + \epsilon\gamma)y_3, \\ \dot{y}_4 = -\epsilon\beta y_4 + \epsilon y_1 y_2, \end{cases} \quad (5.8)$$

ou na forma matricial

$$Y' = BY + \epsilon G(Y),$$

com  $Y = (y_1, y_2, y_3, y_4) \in \mathbb{R}^4$ ,

$$B = \begin{pmatrix} 2\bar{c} & -2\bar{c} & 0 & 0 \\ \frac{4\bar{c}^2 + 1}{3\bar{c}} & -c & \frac{\sqrt{\bar{c}^2 + 1}}{\sqrt{3}} & 0 \\ 0 & -\frac{\sqrt{\bar{c}^2 + 1}}{\sqrt{3}} & -\bar{c} & 0 \\ 0 & 0 & 0 & 0 \end{pmatrix},$$

e

$$G : \mathbb{R}^4 \rightarrow \mathbb{R}^4$$

$$Y \mapsto G(Y) = \begin{pmatrix} \alpha(y_2 - y_1) \\ -\gamma y_2 - \delta y_3 + \theta y_1 - y_4 y_1 \\ \delta y_2 - \gamma y_3 \\ -\beta y_4 + y_1 y_2 \end{pmatrix}.$$

No que segue, calcula-se calcular os autovetores da matriz  $B$  para levar-a à sua forma canônica de Jordan, isto é

$$A = \begin{pmatrix} 0 & -1 & 0 & 0 \\ 1 & 0 & 0 & 0 \\ 0 & 0 & 0 & 0 \\ 0 & 0 & 0 & 0 \end{pmatrix}.$$

Isso é necessário para transformar o sistema (5.6) nas hipóteses do Teorema 3.2.

Os autovetores de  $B$  são

$$\begin{aligned}
V_1 &= (0, 0, 0, 1) \\
V_2 &= \left( -\frac{\sqrt{3}\bar{c}}{\sqrt{\bar{c}^2 + 1}}, -\frac{\sqrt{3}\bar{c}}{\sqrt{\bar{c}^2 + 1}}, 1, 0 \right) \\
V_3 &= \left( -\frac{2\sqrt{3}\bar{c}\sqrt{\bar{c}^2 + 1}}{2\bar{c}^2 + 3i\bar{c} - 1}, -\frac{\sqrt{3}(\bar{c} - i)}{\sqrt{\bar{c}^2 + 1}}, 1, 0 \right) \\
V_4 &= \left( \frac{2\sqrt{3}\bar{c}\sqrt{\bar{c}^2 + 1}}{1 + \bar{c}(-2\bar{c} + 3i)}, -\frac{\sqrt{3}(\bar{c} + i)}{\sqrt{\bar{c}^2 + 1}}, 1, 0 \right).
\end{aligned}$$

Com eles, se define a matriz de transformação linear de coordenadas  $P$

$$P = \begin{pmatrix} -\frac{6\sqrt{3}\bar{c}^2\sqrt{\bar{c}^2 + 1}}{9\bar{c}^2 + (2\bar{c}^2 - 1)^2} & -\frac{2\sqrt{3}\bar{c}\sqrt{\bar{c}^2 + 1}(2\bar{c}^2 - 1)}{9\bar{c}^2 + (2\bar{c}^2 - 1)^2} & 0 & -\frac{\sqrt{3}\bar{c}}{\sqrt{\bar{c}^2 + 1}} \\ -\frac{\sqrt{3}}{\sqrt{\bar{c}^2 + 1}} & -\frac{\sqrt{3}\bar{c}}{\sqrt{\bar{c}^2 + 1}} & 0 & -\frac{\sqrt{3}\bar{c}}{\sqrt{\bar{c}^2 + 1}} \\ 0 & 1 & 0 & 1 \\ 0 & 0 & 1 & 0 \end{pmatrix},$$

a qual satisfaz  $P^{-1}BP = A$ .

Logo, fazendo  $X = P^{-1}Y$  obtém-se que

$$\begin{aligned}
X' &= P^{-1}Y' \\
&= P^{-1}BY + \epsilon P^{-1}G(Y) \\
&= P^{-1}BPX + \epsilon P^{-1}G(PX) \\
&= AX + \epsilon H(X),
\end{aligned}$$

onde  $H(X) = P^{-1}G(PX)$ .

Deste modo, a partir da função  $H$  pode-se calcular a aplicação  $F$  do Teorema 3.2

$$F(r_1, r_2, r_3) = \begin{pmatrix} \frac{1}{3}\pi r_1 (-3\alpha + 4\sqrt{3}\sqrt{\bar{c}^2 + 1}\bar{c}\delta + 6\bar{c}^2(\theta - r_2)) \\ 6\pi\bar{c}^2 \left( \frac{2r_1^2}{4\bar{c}^2 + 1} + \frac{r_3^2}{\bar{c}^2 + 1} \right) - 2\pi\beta r_2 \\ -\frac{4}{3}\pi\bar{c}r_3 (2\sqrt{3}\sqrt{\bar{c}^2 + 1}\delta + 3\bar{c}(\theta - r_2)) \end{pmatrix}.$$

Um zero simples da aplicação  $F$  acontece quando

$$(r_1, r_2, r_3) = \left( \frac{\sqrt{\beta(4\bar{c}^2 + 1)(-3\alpha + 4\sqrt{3}\sqrt{\bar{c}^2 + 1}\bar{c}\delta + 6\bar{c}^2\theta)}}{6\bar{c}^2}, -\frac{\alpha}{2\bar{c}^2} + \frac{2\sqrt{1 + \bar{c}^2}\delta}{\sqrt{3}\bar{c}} + \theta, 0 \right),$$

e

$$\frac{8}{3}\pi^3\alpha\beta \left( 3\alpha - 2\bar{c} \left( 2\sqrt{3}\sqrt{1 + \bar{c}^2}\delta + 3\bar{c}\theta \right) \right) \neq 0.$$

Em resumo, tem-se o seguinte resultado

**Teorema 5.2.** *Seja  $(a, b, c, d, e) = (-2\bar{c} + \epsilon\alpha, \epsilon\beta, \bar{c} + \epsilon\gamma, -\frac{\sqrt{1+\bar{c}^2}}{\sqrt{3}} + \epsilon\delta, \frac{1+4\bar{c}^2}{3\bar{c}} + \epsilon\theta)$  onde  $\bar{c} \in \mathbb{R} \setminus 0$  e  $\epsilon$  um parâmetro pequeno o suficiente. Se*

$$\alpha \neq 0 \text{ e } \beta(2\bar{c}(2\sqrt{3}\sqrt{\bar{c}^2 + 1}\delta + 3\bar{c}\theta) - 3\alpha) > 0,$$

*então o sistema de Lorenz-Haken (5.6) tem um ciclo limite persistente.*

Para encontrar a órbita do sistema de Lorenz-Haken, partimos do fato de que  $X' = AX + \epsilon H(X)$  tem uma órbita  $X$  que persiste após uma perturbação para  $\epsilon > 0$  suficientemente pequeno com a seguinte representação

$$X(t, \beta(\epsilon), \epsilon) = X(t, \xi_0, 0) + O_X(t, \epsilon) \quad (5.9)$$

$$= (r_0 \cos t, r_0 \sin t, z_0, w_0) + O_X(t, \epsilon), \quad (5.10)$$

onde  $r_0 = r_1$ ,  $r_0 = r_2$  e  $r_0 = r_3$ .

Como no caso do sistema de Rössler, temos que considerar o fato que  $Y = PX$  e a mudança de variáveis (5.7) para obter a órbita periódica que persiste no sistema original. Logo, se

$$Y = Y(t, \epsilon) = \begin{pmatrix} y_1(t, \epsilon) \\ y_2(t, \epsilon) \\ y_3(t, \epsilon) \\ y_4(t, \epsilon) \end{pmatrix},$$

segue que

$$Y(t, \epsilon) = PX(t, \xi_0, 0) + PO_X(t, \epsilon) \quad (5.11)$$

$$= \begin{pmatrix} 2\bar{c} & -2\bar{c} & 0 & 0 \\ \frac{4\bar{c}^2 + 1}{3\bar{c}} & -c & \frac{\sqrt{\bar{c}^2 + 1}}{\sqrt{3}} & 0 \\ 0 & -\frac{\sqrt{\bar{c}^2 + 1}}{\sqrt{3}} & -\bar{c} & 0 \\ 0 & 0 & 0 & 0 \end{pmatrix} \begin{pmatrix} r_0 cost \\ r_0 sent \\ z_0 \\ w_0 \end{pmatrix} + PO_X(t, \epsilon) \quad (5.12)$$

$$= \begin{pmatrix} 2\bar{c}r_0 cost - 2\bar{c}r_0 sent \\ \frac{4\bar{c}^2 + 1}{3\bar{c}}r_0 cost - cr_0 sent + \frac{\sqrt{\bar{c}^2 + 1}}{\sqrt{3}}z_0 \\ -\frac{\sqrt{\bar{c}^2 + 1}}{\sqrt{3}}r_0 sent - \bar{c}z_0 \\ 0 \end{pmatrix} + O_Y(t, \epsilon) \quad (5.13)$$

De (5.7) resulta que

$$\begin{pmatrix} x(t, \epsilon) \\ y(t, \epsilon) \\ z(t, \epsilon) \\ w(t, \epsilon) \end{pmatrix} = \epsilon \begin{pmatrix} y_1(t, \epsilon) \\ y_2(t, \epsilon) \\ y_3(t, \epsilon) \\ y_4(t, \epsilon) \end{pmatrix} \quad (5.14)$$

$$= \begin{pmatrix} 2\epsilon\bar{c}r_0 cost - 2\epsilon\bar{c}r_0 sent \\ \frac{4\bar{c}^2 + 1}{3\bar{c}}\epsilon r_0 cost - \epsilon cr_0 sent + \epsilon \frac{\sqrt{\bar{c}^2 + 1}}{\sqrt{3}}z_0 \\ -\epsilon \frac{\sqrt{\bar{c}^2 + 1}}{\sqrt{3}}r_0 sent - \epsilon\bar{c}z_0 \\ 0 \end{pmatrix} + \epsilon O_Y(t, \epsilon). \quad (5.15)$$



# Considerações finais

Este trabalho teve como ponto de partida a apresentação do 16º problema de Hilbert, o qual pergunta sobre o número e as posição de ciclos limites em sistemas diferenciais polinomiais no plano e também, sua versão fraca proposta por Arnold que direciona o problema na investigação do número máximo de ciclos limites que bifurcam de um centro. A partir disso, foi estudado e aplicado o método de integrais Abelianas para encontrar ciclos limites em modelos de equações diferenciais de dimensão maior ou igual a dois. Cabe mencionar, tendo em vista os trabalhos citados nessa dissertação, que esta metodologia é mais simples de aplicar do que as teorias clássicas de Averaging.

Para estudos futuros colocamos o problema da estabilidade dos ciclos limites determinados pela integral abeliana, bem como a prova da existência de outras soluções de interesse nos sistemas dinâmicos como as soluções quase-periódicas, isto é soluções não periódicas contidas em toros invariantes. Adaptação e aplicações da integral abeliana desenvolvida aqui em sistemas não suaves também são problemas futuros naturais.

Por fim, uma questão natural é generalizar a integral abeliana associada ao sistema (1.4) para um sistema Hamiltoniano qualquer nas duas primeiras variáveis, não necessariamente o centro linear no plano  $x_1x_2$  de  $(1.4)_{\epsilon=0}$ . Em suma, motivados pelo caso linear perturbado, o que podemos dizer das órbitas persistentes para um sistema dinâmico na forma



$$\left\{ \begin{array}{l} x'_1 = -H_{x_2} + \epsilon g_1(x_1, \dots, x_n), \\ x'_2 = H_{x_1} + \epsilon g_2(x_1, \dots, x_n), \\ x'_3 = \epsilon g_3(x_1, \dots, x_n), \\ \quad \quad \quad \vdots \\ x'_n = \epsilon g_n(x_1, \dots, x_n), \end{array} \right. \quad (5.16)$$

para  $H$  hamiltoniana em  $x_1x_2$  com um anél periódico.

# Referências Bibliográficas

- [1] Jing Y., Zhouchao W. e Irene M. *Periodic solutions for a fourdimensional hyperchaotic system*. Advances in Difference Equations(2020), p. 1-9.
- [2] L. Liu, C.X. Liu, Y.B. Zhang. *Theoretical analysis and circuit implementation of a novel complicated hyperchaotic system*. Nonlinear Dyn. 66(4), 707-715, (2011).
- [3] Llibre, Jaume. *Periodic Orbits in the Zero-Hopf Bifurcation of the Rossler System*. Em Romanian Astronomical Journal, (2014), Vol. 24(1), p. 49-60.
- [4] Llibre, Jaume; Messias, Marcelo; Reinol, Alisson. *Global Dynamics and Bifurcation of Periodic Orbits in a Modified Nosé-Hoover Oscillator*. *Journal of Dynamical and Control Systems*, (2020).
- [5] Mota A., Welington. *Uma Teoria de Continuação de Órbitas Periódicas em Equações Diferenciais Ordinárias*. Dissertação do Programa de Mestrado em Matemática, UNIFEI, 2016.
- [6] Nosé, S. *A unified formulation of the constant temperature molecular-dynamics methods*. Em The Journal of Chemical and Physics, (1984), p. 511-519.
- [7] Nosé, S. *A molecular dynamics method for simulations in the canonical ensemble*. Em Molecular Physics, (1984), p. 255-268.
- [8] Perko, Lawrence. *Differential Equations and Dynamical Systems*. New York: Springer; 2000.

- [9] Renteria Alva, S.I. and Mereu, A.C. *Bifurcação zero-Hopf e soluções periódicas para um sistema hipercaótico de Lorenz*. (2021) Dissertação repositório USP.
- [10] Renteria, Sonia e Suárez, Pedro. *Four-dimensional zero-Hopf bifurcation for a Lorenz-Haken System*, math.DS, 12 Jan (2022).
- [11] Rezende, Alex Carlucci. *Dois métodos para a investigação de ciclos limites que bifurcam de centros*. Dissertação, ICMC/USP - São Carlos, (2011).
- [12] Rossler, Otto. *Continuous chaos-four prototype equations*. Em *Annals of the New York Academy of Sciences Journal*, 336 (1979), p. 376-392.
- [13] Uribe, Marcos. *Limit Cycles, Abelian Integral and Hilbert's Sixteenth Problem*, Rio de Janeiro: IMPA, (2017).
- [14] Yang, Q., Yang, T. *Complex dynamics in a generalized Langford system*, *Nonlinear Dynamics*, 91, (2018), 2241-2270.